

**”النمذجة الهيدرولوجية للجريان السيلي وأثره البيئي  
بمنطقة رأس غارب، بالتطبيق علي سيل أكتوبر ٢٠١٦م“**

**إعداد**

**د. هاني ربيع نادي محمد**

**مدرس جغرافية البيئة**

**قسم الجغرافيا ونظم المعلومات الجغرافية**

**كلية الآداب جامعة بنى سويف**

**Hany.mohamed@art.bsu.edu.eg**



## المستخلاص

تعرضت مدينة رأس غارب لسيول مدمرة يومي ٢٨ - ٢٩ أكتوبر ٢٠١٦ م والتي نتجت عن عواصف مطرية يوم ٢٧ أكتوبر ٢٠١٦ م بلغت عمق المطر فيها ٢٧ مم على منطقة الدراسة والتي بلغت مساحتها ١١٤٦.٦ كم٢، حيث قدر حجم المطر الذي سقط على أحواض المنطقة بحوالي ١٢٠ مليون م٣ وفق وزارة الموارد المائية والري و٢٢.٣ مليون م٣ من خلال تحليل العاصفة المطرية و٥٧٥.٥ مليون م٣ كقيمة وسطي وفق نموذج سنایدر. وقد تم تطبيق نموذج سنایدر لتقدير حجم السيول واستخلاص هيدروجراف السيل لحوضي أبو حاد في الشمال وجنوب أبو حاد في الجنوب، حيث بلغ متوسط كمية التدفق الأقصى لسيول (٤٧٦.٣ - ٤٧٦.٨ م٣/ث) في واديا أبو حاد وجنوب أبو حاد على الترتيب، في حين تراوح متوسط قيمة تدفق الذروة النوعي بين (٠.٤ - ٠.٧ م٣/ث/كم٢) لكلا الحوضين على الترتيب وبلغ متوسط حجم السيل (٥٩.٤ - ١٦.١ مليون م٣) لكلا الحوضين على الترتيب، وبلغ متوسط قوة السيل (١٤.١ - ١٠.٢) لكلا الحوضين، كما بلغ متوسط فترة الهيدروجراف (١٢٥ - ١٠٣ ساعة) لكلا الحوضين على الترتيب. وقد غطت مياه السيول والرواسب الطينية ٣٤.٣٪ من مساحة المدينة، مما أدى إلى وفاة ١٤ فرد وإصابة ٣٤ فرد إلى جانب تدمير ٣٢٠ سيارة وقطع طريق السويس - الغردقة ورأس غارب - الشيخ فضل وتصدع بعض المنازل وواجهات المحلات التجارية.

## Abstract

During 28th - 29th Oct , 2016, RaaS Ghareb city was exposed to destructive floods brought by rainstorms on 27th Oct. The study area that expands to 1146.6 km<sup>2</sup> received rains estimated as 27 mm in depth. According to the Ministry of Water Resources and Irrigation the volume of rains fell on the basins of the area were estimated by 120 million m<sup>3</sup>. According to the analysis of the rainstorm, the volume of rains was estimated to be 22 million m<sup>3</sup> . According to Snyder Model the volume of rains is 75.5 million m<sup>3</sup> as an average value. Snyder Model has been applied to estimate the volume of floods and to extract the volume hydrograph of both Abo Had basin in the north and South Abo Had in the south where the average of the maximum flood flow volume  $Q_p^{(m^3/s)}$  reached ( 476.3 - 147.8 m<sup>3</sup>/ s ) in the valleys of Abo Had and South Abo Had respectively. Whereas the value of the quantitative flow peak averages  $Qp^{(m^3/s/km^2)}$  between ( 0.4 - 0.7 m<sup>3</sup> / s / km<sup>2</sup> ) for both basins respectively, the average of flood volume  $AL^{(Hm^3)}(10^{6m^3})$  was ( 59.4 - 16.1 million m<sup>3</sup> ) for both basins respectively, the average of flood strength ( $A$ ) reached ( 14.1 - 10.2 ) for both basins respectively and the average of hydrograph period was ( 125 - 103 hour ) for both basins respectively. Flood water and sedimentary mud covered 34.3% of the area of the city leading to 14 deaths, 34 injuries, 320 cars destructed, break down of both Suez - Hurgada Road and Raas Ghareb - El Sheikh Fadl Road in addition to cracks in some houses and storefronts.

هاني ربيع نادي محمد (٢٠١٩) : النمساجة الهيدرولوجية للجريان السيلوي وأثره البيئي بمنطقة رأس غارب، بالتطبيق على سيل أكتوبر ٢٠١٦م، كلية حولية كلية الآداب، جامعة بنى سويف، عدد خاص ٢٠١٩، ص ص ١٥ - ٧٤ .

## مقدمة

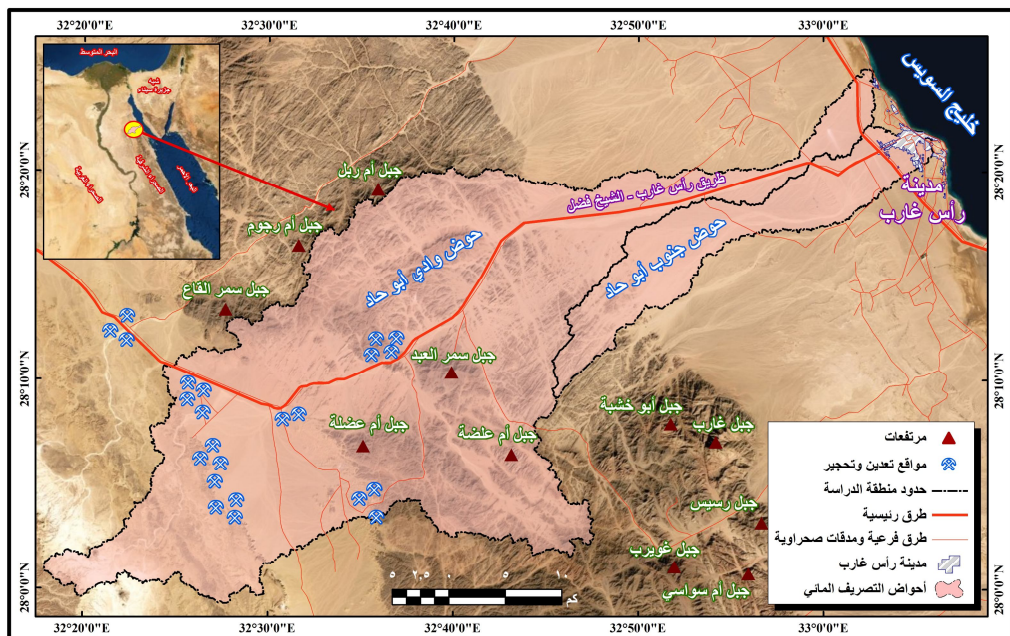
تعد النماذج الهيدرولوجية بمثابة محاولات لتمثيل النظام الهيدرولوجي منذ بداية التساقط المطري وحتى الجريان السيلي والتدفق وذلك في شكل رياضي، حيث تختلف عقدات تلك النماذج باختلاف متطلبات المستخدم ووفرة البيانات. وتتدرج النماذج الهيدرولوجية من النماذج البسيطة التي تستخدم الأساليب الرسمية في الدراسة إلى النماذج الفيزيائية ثلاثة الأبعاد الأكثر تعقيداً. وترتكز النماذج على ثلاث قواعد هي؛ هل يحقق النموذج العشوائية في التعامل مع البيانات، هل يحقق النموذج التباين المكاني، هل يحقق النموذج التباين الزمني؟<sup>(١)</sup>. ويمثل نموذج سنайдر أحد النماذج الهيدرولوجية التي تم تصميمها لتقدير أحجام السيول وقوتها ورسم هيdroوجراف السييل بالاعتماد على الخصائص المورفومترية للأحواض خاصة في المناطق التي تتسم بقلة القياسات الهيدرولوجية للعواصف المسببة للجريان السيلي.

## منطقة الدراسة

تقع منطقة الدراسة علي الساحل الغربي لخليج السويس عند مدينة رأس غارب، حيث تمتد بين دائرتى عرض ٢°٥٩' - ٢٧' شماليًا، وبين خطى طول ٥٣° - ٥٢° شرقاً، شكل رقم (١)، ويحدها من الجنوب الشرقي حوض وادي الدرب والخريم ومن الجنوب حوض وادي غارب ومن الجنوب الغربي حوض وادي قنا ومن الغرب حوض وادي الطرفة ومن الشمال الغربي والشمال حوض وادي حواشية، ومن الشرق يمتد خليج السويس. وتعد مدينة رأس غارب أحد أهم المراكز العمرانية علي الساحل الغربي لخليج السويس، والتي ارتبطت في نشأتها وتطورها العمراني

ارتباطاً وثيقاً باكتشاف البترول في المنطقة والتي ما لبثت أن أصبحت المدينة البترولية الأولى في مصر. وقد قامت بعض الأنشطة الاقتصادية الأخرى في المدينة إلى جانب استخراج البترول مثل الصناعة والتجارة والتعدين والخدمات إلى جانب موقعها على خليج السويس وطريق السويس الغردقة ، ساهم كل ذلك في نمو عمران المدينة بشكل واضح خلال تلك الفترة<sup>(٢)</sup>. وقد بلغت مساحة المدينة ٨,٢ كم٢ عام ٢٠١٧، وبلغ عدد سكانها نحو ٤١,٣ ألف نسمة بنسبة ١١,٥٪ من سكان محافظة البحر الأحمر<sup>(\*)</sup>. وتتأثر المدينة بالجريان السيلي لبعض مجاري الأودية التي تصب في خليج السويس عندها لعل أهمها واديا أبو حاد في الشمال ووادي جنوب أبو حاد في الجنوب<sup>(\*\*)</sup>، حيث تسبب هذين الواديين في حدوث جريان سيلي مدمر تعرضت له المدينة يومي ٢٨ - ٢٩ أكتوبر

. م ٢٠١٦



المصدر : من عمل الباحث اعتماداً على الخرائط الطبوغرافية مقاييس ١ : ٥٠,٠٠٠ ونمذج الارتفاعات الرقمية

شكل (١) موقع منطقة الدراسة

## إشكالية الدراسة

تتمثل إشكالية الدراسة في تعرض مدينة رأس غارب لسيول مدمرة في ٢٨ - ٢٩ أكتوبر عام ٢٠١٦م، ترتب عليها العديد من الخسائر البشرية والمادية في المدينة، ومن ثم جاءت هذه الدراسة لتقدير أحجام السيول التي يمكن أن تتعرض لها المدينة وفق قياسات مرتبطة بخصائص أحواض التصريف المائي في المنطقة، ومن ثم وضعها في الاعتبار عند الشروع في عمل مشروعات حماية للمدينة من أخطار السيول.

## أهداف الدراسة

تهدف الدراسة إلى الآتي :

١. دراسة الخصائص الطبيعية المختلفة لمنطقة رأس غارب
٢. تطبيق نموذج سنایدر على حوضي أبو حاد وجنوب أبو حاد
٣. دراسة احتمالية عودة العواصف المطرية المسببة للجريان السيلي.
٤. تقدير أحجام السيول المتوقعة من أحواض المنطقة
٥. تحديد الآثار البيئية الناتجة عن سيل أكتوبر ٢٠١٦م.

## منهجية الدراسة

اعتمدت الدراسة على منهجية التحليل المكاني والتي تتفق مع المنهج التحليلي والذي يعتمد على الأساليب الكمية الحديثة في تفسير نشأة وتطور الظاهرات وربطها ببعضها البعض، حيث تم الاعتماد عليه في تحليل بيانات المئيات الفضائية ونماذج الارتفاعات الرقمية والخرائط الطبوغرافية وبيانات القياسات الميدانية. كما تم الاعتماد المنهج التجاريبي الكمي والذي يعتمد على الطرق التجريبية الكمية في

معالجة الأشكال الأرضية ووصفها وصفاً كمياً من خلال القياسات الخاصة بها وتطبيق المعادلات عليها وجدولة نتائجها ونمذجتها للحصول على النتائج النهائية لتقدير أحجام السيول ومخاطرها.

## مصادر الدراسة

اعتمدت الدراسة الحالية على المصادر الآتية:

### ١. الدراسات السابقة

تعد السيول واحدة من الأخطار الطبيعية التي تتعرض لها منطقة الدراسة، حيث تناولت العديد من الدراسات هذه المشكلة بالدراسة لخطورتها وللآثار السلبية المترتبة عليها، غير أنه يجدر الإشارة إلى أن النمذجة الهيدرولوجية وتقدير حجم السيول في منطقة رأس غارب وفق نموذج سنایدر لم يتم دراستها، وهو ما دفع الباحث إلى تطبيق هذا النموذج على أحواض المنطقة للوصول إلى تقدير تقريري لحجم السيول في المنطقة. وفيما يلي عرض بعض الدراسات التي تناولت موضوع الدراسة أو منطقة الدراسة وهي كما يلي :

١. دراسة (Sorman,A.U, 1994) <sup>(٣)</sup> : بعنوان تقدير ذروة حجم الجريان السيلي باستخدام تقنيات الاستشعار عن بعد، دراسة حالة وادي عتود جنوب غرب المملكة العربية السعودية، حيث هدفت الدراسة إلىربط تقنيات الاستشعار عن بعد بالنموذج الهيدرولوجي لحساب ذروة التصريف السيلي وذلك بالاعتماد على نموذج (TR-55) للأحواض صغيرة المساحة ومقارنته النتائج مع نتائج الطرق التقليدية، كما اعتمدت أيضاً على معادلة Creager's Formula في حساب ذروة التصريف المائي للأحواض متوسطة المساحة.

٢. دراسة (Geresh, M.H., 2001) <sup>(٤)</sup> : بعنوان التقليل من السيول الفجائية

وزيادة المياه الجوفية في حوض وادي فيران بشبه جزيرة سيناء، حيث يقوم البحث على الاستفادة من مياه الأمطار في الوادي والتي تصل إلى ٦٢ مليون م<sup>3</sup> بتغذية المياه الجوفية، حيث اعتمد على ثلاثة نماذج في تلك الدراسة هي Rational Method Synthetic Unit Hydrograph (Lloyd – Davies, 1906) SCS Synthetic (Snyder Procedure, 1938) والنموذج الأخير يتمثل في Unit Hydrograph (USDA-SCS, 1975).

٣. دراسة (Gheith&Sultan,2002) <sup>(٥)</sup> : بعنوان إنشاء نموذج هيدرولوجي

لتقدير الجريان السطحي في الأودية وتغذية المياه الجوفية في الصحراء الشرقية بمصر، حيث تم الاعتماد على نموذج (SCS, 1985) method (NRCS).

٤. دراسة (محمود حجاب، ٢٠٠٤) <sup>(٦)</sup> : بعنوان جيومورفولوجية السهل الساحلي

والإقليم الجبلي فيما بين رأس بكر ورأس الدب - غرب خليج السويس، حيث تعرض بالدراسة للخصائص المورفومترية لأحواض وشبكات التصريف المائي ومنها وادي أبو حاد وانتهت الدراسة بتحديد مناطق خطورة الجريان السيلى حيث صنفت مدينة رأس غارب ضمن المناطق الأكثر خطورة للجريان السيلى.

٥. دراسة (سند الشربيني، ٢٠٠٥) <sup>(٧)</sup> : بعنوان المنطقة الساحلية فيما بين رأس غارب

شمالاً ورأس دب جنوباً دراسة جيومورفولوجية، حيث تناولت دراسة مورفومترية أحواض وشبكات التصريف المائي جنوب مدينة رأس غارب.

٦. دراسة (Youssef,M,A., Hegab,M,A,. 2005) <sup>(٨)</sup> : بعنوان استخدام نظم

**المعلومات الجغرافية والإحصاء لتطوير نظام إدارة قواعد بيانات أخطار الفيضان في**

**منطقة رأس غارب، حيث تناولت الدراسة بناء قاعدة بيانات من خلال لغة Visual**

**Basic لإدارة أخطار السيول في المنطقة بعد دراسة الخصائص المختلفة للأحواض .**

**٧. دراسة (Saber,m., et al., 2008) <sup>(٩)</sup> : بعنوان نمذجة الجريان السطحي**

**للمجاري العابرة بمراعاة نظرية التجانس في المناطق الجافة، وادي أسيوط مصر،**

**حيث تقوم الدراسة على تقديم نموذج يهدف إلى السيطرة على مياه الفيضانات وإدارة**

**. Hydro-BEAM Model المياه وذلك بالاعتماد على نموذج**

**٨. دراسة (حنان الغيلان، ٢٠٠٨) <sup>(١٠)</sup> : بعنوان دور نظم المعلومات الجغرافية في دراسة**

**الخصائص المورفومترية لحوض وادي لبن، حيث تناولت نموذج سنایدر كأحد نماذج**

**تقدير حجم السيول في الحوض ورسم الهيدروجراف.**

**٩. دراسة (Badawy, M.M., Khidr,M,M., 2011) <sup>(١١)</sup> : بعنوان منهج قائم**

**على نظم المعلومات الجغرافية والاستشعار عن بعد لنمذجة الأحواض الصغيرة في**

**. Rational Method مرسى علم، حيث اعتمدت الدراسة على نموذج**

**١٠. دراسة (البارودي، ٢٠١٢) <sup>(١٢)</sup> : بعنوان تقدير أحجام السيول ومخاطرها عند المجرى**

**الأدنى لوادي عرنة، جنوب شرق مدينة مكة المكرمة، حيث تناول بالدراسة الخصائص**

**الجيولوجية والمناخية والمورفومترية للمنطقة ثم تطبيق نموذج سنایدر على الحوض**

**وانتهي بتقدير حجم السيول ورسم هيدروجراف السيل.**

**١١. دراسة (البارودي وآخرون ، ٢٠١٣) <sup>(١٣)</sup> : بعنوان استخدام نظم المعلومات الجغرافية في**

**تقدير أحجام السيول ومدى خطورتها عند المجرى الأدنى لوادي النعمان جنوب مكة**

المكرمة من خلا تطبيق نموذج سنایدر واعتماد نموذج الارتفاعات الرقمية ASTER،

حيث انتهت الدراسة بتطبيق نموذج سنایدر على المجرى وتحديد أحجام السيول

ورسم هيdroجراف السييل للمجرى.

١٢. دراسة (أحمد صابر وأميرة البنا، ٢٠١٣<sup>(١٤)</sup> : بعنوان أسلوب مقترن لتحديد معايير

درجات خطورة السيول في مصر باستخدام نظم المعلومات الجغرافية، حيث تناولاً فيه

دراسة تعريف السيول ومعايير درجات خطورة السيول وكيفية تحديد معايير درجات

خطورة السيول وتطبيق المعايير على أحواض التصريف في الصحراء الشرقية وشبه

جزيرة سيناء، وقد قسما الأخطار إلى ثلاثة أقسام تشكل مثلث الخطر هي الإنسان

وما يتعلق به وحجم الجريان وسرعة الجريان، حيث اعتبرا أن سرعة الجريان هي أهم

معايير تحديد درجات خطورة السيول.

١٣. دراسة (Sudhakar BS., et al., 2015<sup>(١٥)</sup> : بعنوان وحدة هيdroجراف

سنایدر ونظم المعلومات الجغرافية لتقدير الفيضانات في الأودية غير المقاسه في

حوض تابي السفلی بالهند، حيث تناولت الدراسة تطبيق نموذج سنایدر الأصلی دون

التعديل فيه لرسم هيdroجراف السييل لعدد ٢٤ وادي مائي في المنطقة.

١٤. دراسة (Elnazer,A., et al., 2017<sup>(١٦)</sup> : بعنوان السيول الفجائية التي تؤثر

في مدينة رأس غارب، البحر الأحمر، مصر : قناة السيول الفجائية المقترنة، حيث

قامت الدراسة بدراسة بعض الخصائص المورفومترية لأحواض التصريف واقتصرت

قناة للسيول بطول ٣٨ كم لحماية المدينة من السيول.



## ٢. الخرائط والصور الفضائية

اعتمدت الدراسة على مجموعة من الخرائط الطبوغرافية مقاييس ١ : ٥٠,٠٠٠ وعددتها ٧ لوحات من إنتاج الهيئة المصرية العامة للمساحة، والخرائط الطبوغرافية مقاييس ١ : ٢٥٠,٠٠٠ وعددتها لوحتان، كما اعتمدت أيضاً على الخرائط الجيولوجية من إنتاج شركة كونكو كورال مقاييس رسم ١ : ٥٠٠,٠٠٠ لوحدة بنى سويف NH36SW. هذا إلى جانب الصور الفضائية للقمر الصناعي الأمريكي Landsat8(OLI) لوحدة ١٧٥/٤٠ لعام ٢٠١٧ م.

## ٣. الدراسة الميدانية

تعد الدراسة الميدانية أحد المركبات الرئيسية للدراسة، حيث تعد من المصادر المهمة للبيانات في مجال الجغرافيا. وقد تم إجراء زيارات ميدانية لمنطقة الدراسة الأولى كانت يومي (٤ - ٥ نوفمبر ٢٠١٦م) أي بعد حدوث السيول مباشرة والثانية كانت (٢٨ - ٣٠ يناير ٢٠١٧)، وقد تم خلال الزيارات الميدانية التحقق الحقلية والرصد الميداني لبعض المناطق المتضررة بيئياً من الجريان السيلى في المنطقة ومساهمة في رسم خريطة لمناطق المتضررة في المدينة، هذا إلى جانب التقاط الصور الفوتوغرافية للمواقع المتضررة والمقابلات الميدانية مع بعض السكان المتضررين وعقد جلسات مع المسؤولين.

### **أولاً: الخصائص الطبيعية لمنطقة الدراسة.**

#### **١. التكوينات الجيولوجية السطحية**

تنوع التكوينات الجيولوجية السطحية في المنطقة، حيث أدى توغل أحواضها غرباً إلى امتدادها في النطاق الجبلي الذي يمثل الامتداد الشمالي لجبال البحر الأحمر

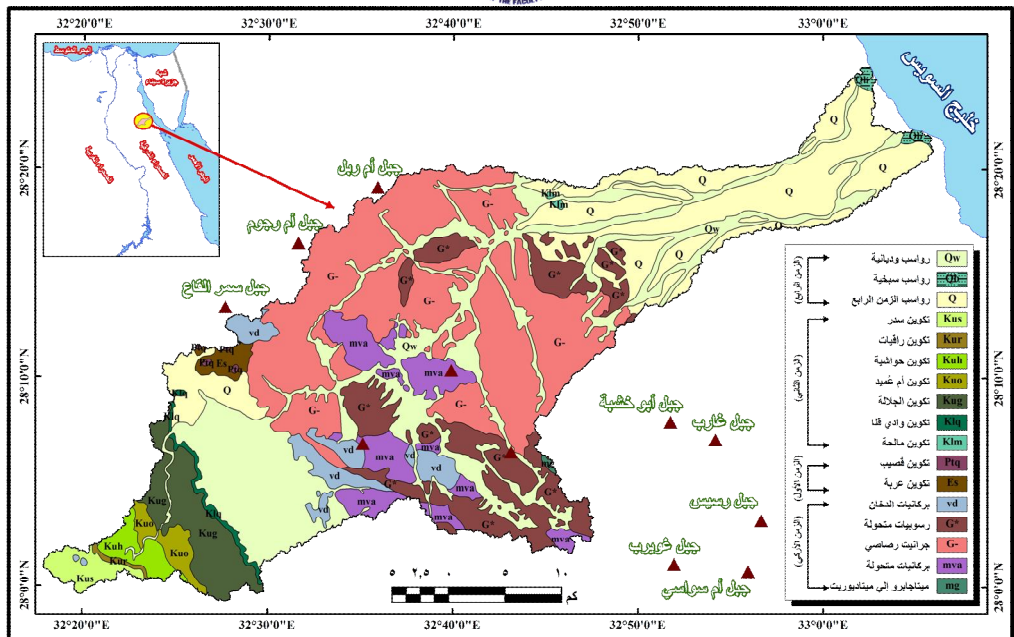
ممثلاً في بعض المرتفعات أهمها جبل سمر العبد وأم عضة وغیرها من المرتفعات، ومن ثم تنوع التكوينات الجيولوجية التي يتراوح عمرها الجيولوجي بين صخور ما قبل الكامبري وحتى رواسب الزمن الرابع. وتؤثر التكوينات الجيولوجية السطحية في الجريان السيلي بالمنطقة من حيث نوعية الصخور؛ فالصخور النارية والمحولة تتسم بقلة النفادية وبالتالي انخفاض معدلات المياه المفقودة بالتسرب ومن ثم يرتبط بها جريان سيلي شديد عكس بعض الصخور الرسوبية والرواسب الجيولوجية التي تتسم بالنفادية العالية خاصة رواسب الزمن الرابع والتي تتتألف من الرواسب الحصوية والرمليّة، ومن ثم انخفاض معدلات الجريان السيلي. وفيما يلي عرض لأهم التكوينات الجيولوجية السطحية بالمنطقة والتي يوضحها الجدول رقم (١) والشكل رقم (٢).

#### **أ. صخور ما قبل الكامبري**

تشكل ما يقرب من نصف مساحة المنطقة (٤٧,٦٪)، ونحو (٥٣,٢٪) من مساحة حوض أبو حاد و (١٧,١٪) من مساحة حوض جنوب أبو حاد. وت تكون من الصخور النارية والمحولة والنارية المتأثرة بعمليات التحول والانكسارات، وتمثل أقدم الوحدات الصخرية المنكشفة بالمنطقة ويقع معظمها غرب وجنوب غرب المنطقة، وتتنوع وحداتها الصخرية ما بين الميتاجابرو والميتا迪وريت والبركانيات المحولة والجرانيت القديم والرسوبيات المحولة وبركانيات الدخان، شكل(٢). وتتسم هذه التكوينات بشدة الصلابة وقلة النفادية مما أثر في عمليات الجريان السيلي في المنطقة.

#### **ب. تكوينات الزمن الجيولوجي الأول**

أقدم التكوينات الرسوبية في المنطقة والتي ترتكز غير متواقة فوق صخور القاعدة، وتغطي (٩٠,٩٪) من مساحة المنطقة وتمثل في تكوين عربة والذي يتتألف من الحجر



المصدر : من عمل الباحث اعتماداً على الخرائط الجيولوجية من إنتاج شركة كونكو مقياس ١ : ٥٠٠٠٠٠ لوحة بني سويف NH36SW تم قياس المساحات باستخدام

Arc GIS 10.3 برنامج

شكل (٢) التكوينات الجيولوجية لمنطقة الدراسة

جدول (١) التكوينات الجيولوجية السطحية في منطقة الدراسة.

الزمن	التكوين	الرمز	أبو حاد	جنوب أبو حاد	الإجمالي
(%)	المساحة (كم²)	(%)	المساحة (كم²)	المساحة (كم²)	(%)
الرابع	رواسب وديانية	Qw	٢٤,٧	٢٨٣,١٢	٢٨٨,٠٨
	رواسب سبخية	Qb	٠,٢	٢,٧	٥,٤٢
	رواسب الزمن الرابع	Q	١٠	١١٤,٣	٢٣٩,٩٦
	تكوين سدر	Kus	١,٦	١٧,٦٣	١٧,٦٣
	تكوين رفقيات	Kur	٠,٢	٢,٧١	٢,٧١
	تكوين حواشية	Kuh	١,٥	١٧,٦٢	١٧,٦٢
	تكوين أم عميد	Kuo	١,٤	١٦,٢٧	١٦,٢٧
	تكوين الجالة	Kug	٥,٣	٦١,٠١	٦١,٠١
	تكوين وادي قنا	Klq	٠,٧	٨,١٣	٨,١٣
	تكوين مالحة	Klm	٠,١	١,٣٦	١,٣٦
الأول	تكوين قصيب	Ptq	٠,١	١,٣٦	١,٣٦
	تكوين عربة	Es	١	١٠,٨٥	١٠,٨٥
	بركانيات الدخان	vd	٣,٨	٤٣,٣٨	٤٣,٣٨
	رسوبيات متحولة	G*	١٢٩,٧١	٨,٥٧	١٣٨,٢٨
	جرانيت رصاصي	G-	٣٥٥,١٣	٢٧,١٨	٣٨٢,٣١
الثاني	بركانيات متحولة	mva	٧٩,٩٩	-	٧٩,٩٩
	متاحابرو إلى ميتايدوريت	mg	١,٣٦	-	١,٣٦
	الإجمالي	-	١١٤٦,٦	٢٠٩,٠٩	١٣٥٥,٧٢

المصدر : من إعداد الباحث اعتماداً على شكل رقم (٢).

الرملي والحجر الرملي الصلصالي والرمل الخشن<sup>(١٧)</sup>، وتكوين قُصيب الذي تألف من الطفل والحجر الرملي الهش ويختلط بطبقة رقيقة من الصخور الملحية<sup>(١٨)</sup>.

### ج. تكوينات الزمن الجيولوجي الثاني

تغطي تكوينات هذا الزمن نحو (٩.٢٪) من مساحة المنطقة وتمثل في تكوينات (مالحة، وادي قنا، الجلالية، أم عميد، حواشية، راقيات، سدر)، وتظهر هذه التكوينات في وادي أبو حاد بينما لا تظهر في وادي جنوب أبو حاد، وتتألف هذه التكوينات من الحجر الرملي النبوي والحجر الرملي الأبيض والأصفر والطفل والطفل الطيني والمارل الرملي والمارل والحجر الجيري الطباشيري الناصع البياض<sup>(١٩)</sup> .

### د. رواسب الزمن الجيولوجي الرابع

تغطي هذه الرواسب حوالي (٤٢.٣٪) من مساحة المنطقة، ترتفع هذه النسبة في حوض جنوب أبو حاد لتصل إلى (٨٢.٩٪)، بينما تصل في حوض وادي أبو حاد إلى (٣٤.٩٪)، وتمثل في رواسب الزمن الرابع غير المصنفة والرواسب السبخية والرواسب الوديانية. وتغطي هذه الرواسب منطقة السهل الساحلي حتى أقدام الجبال في الغرب وتنقسم بقلة اندثار سطحها.

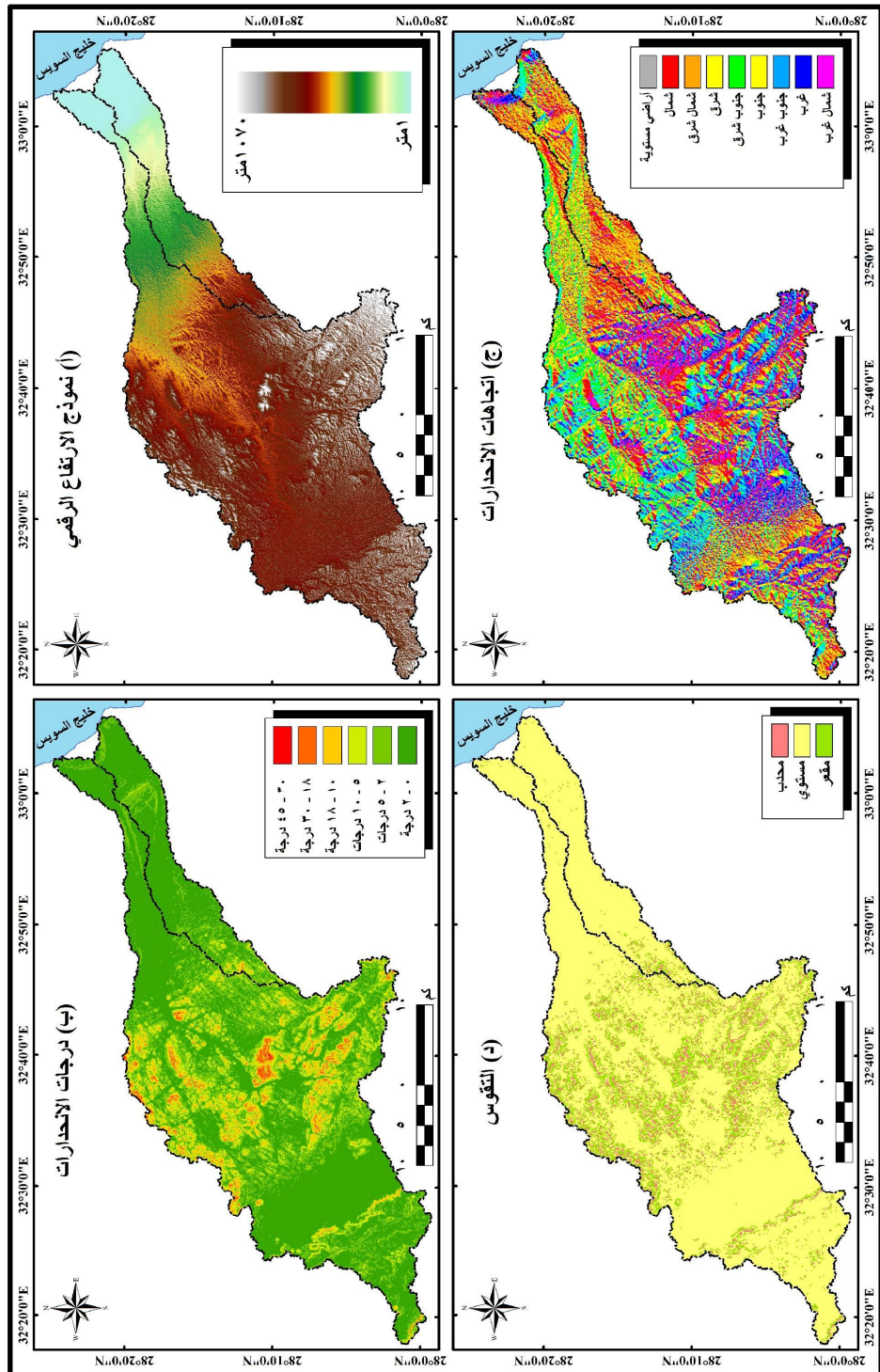
يتضح من دراسة التكوينات الجيولوجية بالمنطقة أن ٤٢.٣٪ من مساحة المنطقة تتتألف من الرواسب الحصوية والرمليّة والسبخية والوديانية والتي تتسم بنفايتها العالية مما يؤثر في الجريان السيلي حيث تفقد كمية من المياه بالتسرب عبر هذه الرواسب، في حين أن ٤٧.٦٪ من مساحة المنطقة تتتألف من الصخور الأركية ذات النفاية المنخفضة والتي تساهم في زيادة معدلات الجريان السيلي وتقلل من فقد المياه عبر الصخور.

## ٢. الخصائص التضاريسية

تؤثر الخصائص التضاريسية للمنطقة بوضوح في الجريان السيلي من خلال تأثيرها على كمية المياه المتدفقة من المنحدرات الجبلية وسرعتها واتجاهها، فضلاً عن تأثيرها في بعض المعاملات المورفومترية للأحواض مثل زمن التركيز وזמן التباطؤ. وت تكون المنطقة من سهل ساحلي ومنطقة بيدهمنت تفصله عن النطاق الجبلي في الغرب، حيث يتدرج سطح المنطقة في الانحدار من النطاق الجبلي غرباً نحو السهل الساحلي هين الانحدار في الشرق. وفيما يلي عرض لبعض الخصائص التضاريسية بالمنطقة:-

**أ. نموذج الارتفاع الرقمي (DEM) :** من خلال دراسة نموذج الارتفاع الرقمي للأحواض المنطقة والذي يوضحه الجدول رقم (٢) والشكل رقم (٣ - أ)، يلاحظ ما يلي :

- يتراوح منسوب سطح المنطقة بين ١٤ م في النطاق السهلي الساحلي وبين ١٠٧٠ م في جبل سمر العبد وسط حوض أبو حاد، قد بلغ المدى التضاريسى بحوض وادي أبو حاد ١٠٦٢ م بينما بلغ ٧٨٧ م في حوض جنوب أبو حاد. ويؤثر ارتفاع المدى التضاريسى بشكل واضح في الجريان السيلي للمياه في تلك الأحواض.
- تغطي الأجزاء التي يقل منسوبها عن ٢٠٠ م حوالي ٨٠٪ من مساحة المنطقة، ترتفع هذه النسبة في حوض جنوب أبو حاد لتصل إلى ٣٨,٨٪، في حين بلغت ٣,٢٪ في حوض أبو حاد، وهذا يدل على ارتفاع منسوب سطح المنطقة.
- بلغت نسبة مساحة المناطق التي يقل منسوبها عن ٥٠٠ م حوالي ٢٦,٢٪ تصل هذه النسبة إلى ٨٣,٦٪ في حوض جنوب أبو حاد بينما تبلغ ١٥,٨٪ في حوض أبو حاد.



المصادر : من إعداد الباحث اعتماداً على ملفات الأرتفاعات الرقمية التي تنتجهها هيئة المساحة الجيولوجية الأمريكية USGS،

**شكل (٢) الخصائص التضاريسية لمنطقة الدراسة**

- بلغت نسبة مساحة الأرضي التي يزيد منسوبها على ٥٠٠ م حوالي ٧٣,٨٪ وهو ما يدل على ارتفاع منسوب سطح المنطقة وتوغلها في النطاق الجبلي في الغربي، وتبلغ هذه النسبة ٨٤,٢٪ في حوض أبو حاد أكثر الأحواض توغلا نحو الغرب، في حين بلغت ١٦,٤٪ في حوض جنوب أبو حاد.
- ب. درجات الانحدار : يتسم سطح المنطقة بقلة درجات انحداره، وقد بلغت أقصى درجة انحدار حوالي ٣٣,٢ درجة علي منحدرات جبل سمر العبد، ومن خلال دراسة الجدول رقم (٣) والشكل رقم (٣ - ب) الذي يوضح درجات الانحدار في المنطقة، يتضح ما يلي :

  - تغطي الأرضي المستوية وشبه المستوية وهيئة الانحدار (٠ - ٥ درجات) حوالي ٨٢,٣٪ من مساحة المنطقة، في حين تغطي الأرضي التي يزيد انحدارها على ٥ درجات نحو ١٧,٧٪، وبالتالي يغلب علي سطح المنطقة الانحدار التدريجي .
  - تغطي الأرضي شديدة الانحدار وشديدة الانحدار جدا (١٨ - ٤٥ درجة) حوالي ١,٣٪ من مساحة المنطقة وتظهر علي جوانب المنحدرات في المناطق الجبلية
  - ج. اتجاهات الانحدارات : ينحدر سطح المنطقة من الشمال إلى الجنوب ومن الغرب إلى الشرق، ويوضح الجدول (٤) والشكل (٣ - ج) اتجاهات الانحدارات والتي توضح الآتي :
    - يغلب علي ١٣,٤٪ من سطح المنطقة الاستواء النسبي، وينحدر ٢٤,٢٪ من سطحها ناحية الشمال وهو الاتجاه العام لانحدار الأرض في مصر.
    - تشكل اتجاهات الشمال والشمال الشرقي والشرق اتجاهات الرئيسية لانحدار السطح في المنطقة بنسبة ٤٦,٧٪ من مساحة المنطقة، في حين يعد اتجاه الجنوب الغربي هو اقل الاتجاهات ١,٧٪.

**د. درجات التقوس :** يتسم سطح المنطقة بالاستقامة، حيث بلغت مساحة الأقسام المستقيمة ٧٦,٧٣٪، في حين تغطي العناصر المحدبة ١٧,١٤٪، وتغطي العناصر المقعرة نحو ٦,١٣٪، جدول رقم (٥) وشكل رقم (٣ - د).

**جدول (٢) فئات الارتفاع الرئيسية في منطقة الدراسة.**

الإجمالي		جنوب أبو حاد		أبو حاد		فئات النسب (متر)
(%)	المساحة (كم²)	(%)	المساحة (كم²)	(%)	المساحة (كم²)	
٥,٦٥	٧٦,٥٧	٢٣,٧٣	٤٩,٦٢	٢,٣٥	٢٦,٩٥	أقل من ١٠٠
٣,٠٤	٤١,١٦	١٥,٠٢	٣١,٤١	٠,٨٥	٩,٧٥	٢٠٠ - ١٠٠
٤,٣٥	٥٩,٠٣	١٧,٣٢	٣٦,٢١	١,٩٩	٢٢,٨٢	٣٠٠ - ٢٠٠
٦,١٨	٨٣,٨٥	١٧,٧٣	٣٧,٠٧	٤,٠٨	٤٦,٧٨	٤٠٠ - ٣٠٠
٧,٠٣	٩٥,٢٩	٩,٨٢	٢٠,٥٣	٦,٥٢	٧٤,٧٦	٥٠٠ - ٤٠٠
١٣,٧٤	١٨٦,٣٤	٩	١٨,٨٢	١٤,٦١	١٦٧,٥٢	٦٠٠ - ٥٠٠
٣٥	٤٧٤,٢٨	٦,٤٩	١٣,٥٧	٤٠,١٨	٤٦٠,٧١	٧٠٠ - ٦٠٠
٢٠,١٤	٢٧٣,١٥	٠,٨٩	١,٨٦	٢٣,٦٦	٢٧١,٢٩	٨٠٠ - ٧٠٠
٤,٢٨	٥٨,٠٢	-	-	٥,٠٦	٥٨,٠٢	٩٠٠ - ٨٠٠
٠,٥٨	٧,٨	-	-	٠,٦٨	٧,٨	١٠٠٠ - ٩٠٠
٠,٠٢	٠,٢٣	-	-	٠,٠٢	٠,٢٣	١٠٠٠ متر فأكثر
١٠٠	١٣٥٥,٧٢	١٠٠	٢٠٩,٠٩	١٠٠	١١٤٦,٦	الإجمالي

المصدر : من إعداد الباحث اعتماداً على شكل رقم (٣).

**جدول (٣) فئات الانحدار بمنطقة الدراسة.**

الإجمالي		جنوب أبو حاد		أبو حاد		فئات الانحدار
(%)	المساحة (كم²)	(%)	المساحة (كم²)	(%)	المساحة (كم²)	
٥٧,٤	٧٧٨,٢٣	٧٦,٣٤	١٥٩,٦٢	٥٣,٩٥	٦١٨,٦١	أقل من ٢٠
٢٤,٩٤	٣٣٨,٠٩	٢٠,١	٤٢,٠٣	٢٥,٨٢	٢٩٦,٠٦	٥ - ٢
١١,٠٢	١٤٩,٤٨	٢,٦٧	٥,٥٨	١٢,٥٥	١٤٣,٩	١٠ - ٥
٥,٣٦	٧٢,٦٢	٠,٨٤	١,٧٦	٦,١٨	٧٠,٨٦	١٨ - ١٠
١,٢٦	١٧,٠٧	٠,٠٥	٠,١	١,٤٨	١٦,٩٧	٣٠ - ١٨
٠,٠٢	٠,٢٣	-	-	٠,٠٢	٠,٢٣	٤٥ - ٣٠
١٠٠	١٣٥٥,٧٢	١٠٠	٢٠٩,٠٩	١٠٠	١١٤٦,٦	الإجمالي

المصدر : من إعداد الباحث اعتماداً على شكل رقم (٣).

**جدول (٤) اتجاهات الانحدار بمنطقة الدراسة.**

الإجمالي		جنوب أبو حاد		أبو حاد		الاتجاهات
(%)	المساحة (كم²)	(%)	المساحة (كم²)	(%)	المساحة (كم²)	
١٣,٤١	١٨١,٨٧	١٧,١٧	٣٥,٩	١٢,٧٣	١٤٥,٩٧	مستوي
٢٤,٢٢	٣٢٨,٣	٢٩,٧٩	٦٢,٢٩	٢٣,٢	٢٦٦,٠١	الشمال

الشمال الشرقي	١١٩,٠٢	١٠,٣٨	٣٦,٣٨	١٧,٤	١٥٥,٤	١١,٤٦
الشرق	١٢٢,٣٤	١٠,٦٧	٢٦,٨١	١٢,٨٢	١٤٩,١٥	١١
الجنوب الشرقي	١١٠,٣١	٩,٦٢	١٥,٧	٧,٥١	١٢٦,٠١	٩,٣
الجنوب	٩٢,٨٨	٨,١	١٢,٢٥	٥,٨٦	١٠٥,١٣	٧,٧٦
الجنوب الغربي	٩٠,٢٤	٧,٨٧	٥,٩٤	٢,٨٤	٩٦,١٨	٧,٠٩
الغرب	٩٦,٢	٨,٣٩	٤,٦٦	٢,٢٣	١٠٠,٨٦	٧,٤٤
الشمال الغربي	١٠٣,٦٦	٩,٠٤	٩,١٦	٤,٣٨	١١٢,٨٢	٨,٣٢
الإجمالي	١١٤٦,٦	١٠٠	٢٠٩,٠٩	١٠٠	١٣٥٥,٧٢	١٠٠

المصدر : من إعداد الباحث اعتماداً على شكل رقم (٣).

#### جدول (٥) فئات تقوس السطح بمنطقة الدراسة.

الإجمالي		جنوب أبو حاد		أبو حاد		الاتجاهات
(%)	المساحة (كم²)	(%)	المساحة (كم²)	(%)	المساحة (كم²)	
١٧,١٤	٢٣٢,٤	٣٧,٨٣	٧٩,١	١٢,٣٧	١٥٣,٣	محدب
٧٦,٧٣	١٠٤٠,٢٩	٦٠,٣	١٢٦,٠٨	٧٩,٧٣	٩١٤,٢١	مستقيم
٦,١٣	٨٣,٠٣	١,٨٧	٣,٩١	٦,٩	٧٩,١٢	مقرع
١٠٠	١٣٥٥,٧٢	١٠٠	٢٠٩,٠٩	١٠٠	١١٤٦,٦	الإجمالي

المصدر : من إعداد الباحث اعتماداً على شكل رقم (٣).

يتضح من دراسة الخصائص التضاريسية لمنطقة أن المدى التضاريسى لها بلغ ١٠٦٩ م وهو ما يؤثر في طبيعة الجريان السيلي للمياه المنحدرة من المرتفعات نحو المنطقة السهلية بما فيها من أنشطة بشيرية، كما يتضح أن سطح المنطقة ينحدر نحو الشمال والشمال الشرقي بنسبة ٣٥,٧٪ تقريباً، أي نحو عمران المدينة مما يسهم في زيادة خطورة الجريان السيلي، فضلاً عن استقامة سطح المنطقة وغلبة العناصر المحدبة على العناصر المقرعة.

### ٣. الخصائص المناخية

تلعب الظروف المناخية لمنطقة الدراسة دوراً مهماً في التأثير على الجريان السيلي، خاصة عنصر المطر المسؤول الرئيسي عن ذلك. وقد تم الاعتماد على بيانات محطة رأس غارب لدراسة الخصائص المناخية في المنطقة عدا عنصر المطر الذي تم دراسته وفق بيانات محطة سانت انطونيو التي تقع شمال رأس غارب بحوالي ١٠٠ كم، ويوضح

الجدول رقم (٦) الخصائص المناخية في المنطقة ويوضح منه ما يلي:

أ. درجة الحرارة : بلغ المتوسط العام لدرجة الحرارة العظمى في محطة رأس غارب ٣١.٨ درجة بينما بلغ المتوسط السنوي للحرارة الدنيا نحو ٢٠.٥ درجة، في حين بلغ المتوسط السنوي للمدى الحراري نحو ١١.٣ درجة، وهو معدل مرتفع إلى حد ما له تأثيرات واضحة على عمليات التجوية والتعريفة التي تتم على صخور منطقة الدراسة التي يغلب عليها النوع الناري إلى جانب بعض الصخور الرسوبيّة، مما يؤدي إلى زيادة معدلات النحت والتعريفة والتي يتمثل أهمها في التفكك الكتلي والحببي وتقشر الصخور ومن ثم تجهيزها حتى حدوث الجريان السيلي فتتمثل الأودية بهذه الرواسب وتمثل في النهاية خطراً جيومورفولوجيَا في مناطق المصب وعلى التجمعات البشرية على طول المجرى المائي.

جدول (٦) الخصائص المناخية بمنطقة الدراسة.

المحطات	الحرارة العظمى (درجة مئوية)	الحرارة الدنيا (درجة مئوية)	المدى الحراري (درجة مئوية)	الرطوبة النسبية (%)	التبخر (مم)	سرعة الرياح (كم/ساعة)	المطر (مم)						
	٣١.٨	٢٥.٨	٢٤	٣٨.٨	٣١.٦	٣٥.٢	٣٨.٦	٣٩.٦	٣٥.٥	٢٩	٢٨	٢٢.٦	٢٣
	٢٠.٥	١٨.١	٢٣.٧	٢٤.٩	٢٥.٥	٢٦.٧	٢٥	٢٢.٨	١٨.٨	١٦.٣	١٥.٣	١٣	١٥.٨
	١١.٣	٧.٧	١٠.٣	١٣.٩	٦.١	٨.٥	١٣.٦	١٦.٨	١٦.٧	١٢.٧	١٢.٧	٩.٦	٧.٢
	٦١.٣	٥٣	٥٤	٦١	٦٦	٧٤	٧٢	٥٧	٥٥	٦٦	٦٥	٥٧	٥٦
	١٥.٤	١٢.٤	١٣.٦	١٧.١	١٨.٢	٢٠.٥	٢٢.٣	١٩.٠	١٨.٣	١٤.٠	١١.١	٩.٣	٨.٦
	٢٢.٢	٢١.٨	٢١.٣	٢٢.٩	٢٢.٨	٢٣.١	٢٥.٥	٢٦.٦	٢٥.٧	٢٤.٨	٢١.٣	٢١.٥	٢١.١
	١٣.٢	صفر	٢٠	صفر	صفر	صفر	صفر	صفر	١.٦	٢.٠	٠.٤	٣.١	١.١

المصدر : الهيئة العامة للأرصاد الجوية .

جدول (٧) اتجاهات هبوب الرياح بمنطقة الدراسة (%) .

الاتجاه	شمال شرق	شمال	شمال غرب	شمال غرب	جنوب غرب	جنوب	جنوب شرق	شرق	شمال شرق	شمال	الاتجاه
رأس غارب	٣٣.١	١٥.٢	١٥.٢	١٧	٢.٤	٢.١	٢.١	٢.١	٣٤.٢	٣٤.٢	سكون

المصدر : الهيئة العامة للأرصاد الجوية .

**ب. الرطوبة النسبية والتبخّر :** بلغ المتوسط السنوي للرطوبة النسبية في منطقة الدراسة حوالي ٦١.٣٪، ويؤدي ارتفاع قيم الرطوبة النسبية خاصة وأنها تتفق مع فترات سقوط الأمطار وانخفاض درجات الحرارة إلى نشاط كبير لعمليات التجوية الكيميائية في صخور المنطقة، خاصة في المناطق التي تحتوي على صخور ترتفع فيها نسبة كربونات الكالسيوم مثل الحجر الجيري والطفل والتي تتأثر بعمليات التكرير والإذابة، مما يؤدي إلى حدوث حفر وتجويفات عميقه داخل الصخر . في حين بلغ المتوسط العام لمعدل التبخّر نحو ١٥.٤مم، ويقلل هذا العامل من الجريان السيلي حيث يساهم في تبخّر مياه الوادي ومن ثم قلة كميتها وقدرتها على الحمل والتدمير ومن ثم انخفاض الخطورة.

**ج. الرياح :** تعد الرياح الشمالية الغربية هي الرياح السائدة والتي بلغت نسبتها في محطة أرصاد رأس غارب حوالي ٣٤.٢٪ من جملة اتجاهات هبوب الرياح، جدول رقم (٧)، كما بلغ متوسط سرعتها حوالي ٢٣.٢كم/ساعة. وتلعب الرياح دوراً مهماً في نحت الصخور وتجهيزها لعمليات النقل عن طريق مياه الأودية الجافة، فضلاً عن كونها المسئولة عن حركة السحب الحاملة لمياه المطر المؤثر الرئيسي في حدوث الجريان السيلي.

**د. الأمطار:** بلغ متوسط مجموع المطر السنوي خلال الفترة من ١٩٩٥ - ٢٠١٢ م في محطة سانت أنطونيو نحو ١٣.٢مم، تزداد هذه الكمية في فصل الشتاء وتنخفض في باقي الفصل وتنعدم في فصل الصيف، أما أكبر كمية مطر سقطت في يوم واحد في نفس المحطة فقد بلغت ١٨.٣مم. ويعود المطر هو العنصر المناخي الرئيسي المؤثر في الجريان السيلي .

## هـ. السجلات القصوى للأمطار :

لا تعكس معدلات الأمطار القيمة الحقيقية لدى مساهمتها في الجريان السطحي، حيث أن للمطر في المناطق الصحراوية خصائصه التي تميزه عن غيرها من المناطق والتي يتمثل أهمها في التركز الشديد والفجائية، ومن ثم فإن دراسة أقصى كمية مطر سقطت في يوم واحد يعبر عن الدور الحقيقي للمطر في الجريان السيلي. وقد تم الاعتماد في دراسة أكبر كمية مطر سقطت على منطقة الدراسة علي بيانات محطات الأرصاد الجوية في الساحل الغربي لخليج السويس حتى مدينة الغردقة للوقوف على الوضع العام للتساقط في الإقليم ككل، وتمثل ذلك في بيانات محطات السويس وسانت أنطونيو والغردقة والتي يوضحها الجدول رقم (٨)، والذي يتضح منه ما يلي :

- بلغت أكبر كمية مطر سقطت في يوم واحد قرابة ٥٥٠ مم وذلك في محطة السويس عام ١٩٦٥م، بينما أقل هذه الكميات فقد بلغت ٥٠,٥ مم في نفس المحطة عام ١٩٩٤م.
- يلاحظ تركز الأمطار العالية في الجزء الشمالي من خليج السويس وتأخذ الأمطار في الانخفاض التدريجي بالاتجاه ناحية الجنوب.
- يعد شهر أكتوبر أعلى أشهر العام من حيث أكبر كمية مطر سقطت والتي بلغت ٨٤,٦ مم، يليه شهر فبراير ٧٦,٦ مم ثم شهر نوفمبر ٦٦,٧ مم، في حين يعد شهر سبتمبر هو أقل الشهور من حيث كمية التساقط والتي بلغت ٥٠,٥ مم يليه شهر يونيو ١,٩ مم، وتنتهي الأمطار في شهري يوليو وأغسطس.
- يعد فصل الخريف هو أعلى الفصول من حيث كميات المطر التي سقطت فيه والتي بلغت كميتها ١٥١,٨ مم، يليه فصل الشتاء ١٤٩,٨ مم ثم فصل الربيع ٧١,٥ مم وأخيراً فصل الصيف ١,٩ مم.

- ٢٨ أكتوبر عام ٢٠١٦ هو المسؤول عن الجريان السيلي في أحواض المنطقة، حيث بلغ عمق المطر في هذا السيل ٣٥ مم.

#### جدول (٨) أقصى كمية مطر سقطت في يوم واحد في المنطقة.

العام	الفاصل الزمني	المحطة	التاريخ	كمية المطر (مم)
١٩٤٧	-	سانت انطونيو	١٩٤٧/٠٤/١٩	١٦.٥
١٩٥٠	٣	سانت انطونيو	١٩٥٠/٠٥/١٢	٧.٥
١٩٥٤	٤	سانت انطونيو	١٩٥٤/٠٢/١٨	١٨.٣
١٩٥٤	٠.٨	الغردقة	١٩٥٤/١٢/١٩	٢٤.٧
١٩٦٤	١٠	السويس	١٩٦٤/١٢/١٢	١٠
١٩٦٥	١	السويس	١٩٦٥/١٠/٠٦	٤٩.٦
١٩٦٧	٢	السويس	١٩٦٧/٠٥/١٥	٢٢
١٩٧٠	٨	الغردقة	١٩٧٥/٢/٨	١١
١٩٧٦	١	السويس	١٩٧٦/٠٤/١٢	٩.٢
١٩٨٢	٦	السويس	١٩٨٢/٠٢/٢٢	٧.٣
١٩٨٤	٢	السويس	١٩٨٤/١١/٢٣	٩.٧
١٩٨٥	١	السويس	١٩٨٥/٠٣/٢٢	١٦.٣
١٩٨٧	٢	الغردقة	١٩٨٧/٠٢/٠٣	٤٠
١٩٨٨	١	السويس	١٩٨٨/١/١٢	١٦.٥
١٩٩٠	٣	السويس	١٩٩٠/٠١/٢٦	٢٢
١٩٩١	١	السويس	١٩٩١/٠٦/١٤	١.٩
١٩٩٤	٣	السويس	١٩٩٤/٠٩/٢٧	٠.٥
١٩٩٤	٠.٢	الغردقة	١٩٩٤/١١/٠١	١٢
١٩٩٦	٢	الغردقة	١٩٩٦/١١/١٧	٤٥
٢٠١٦	١٠	السويس	٢٠١٧/١٠/٢٨	٣٥

المصدر: هيئة الأرصاد الجوية، بيانات غير منشورة، سنوات مختلفة.

#### و. تحليل العاصفة المطرية (٣٦-٣٧ أكتوبر ٢٠١٦م) :

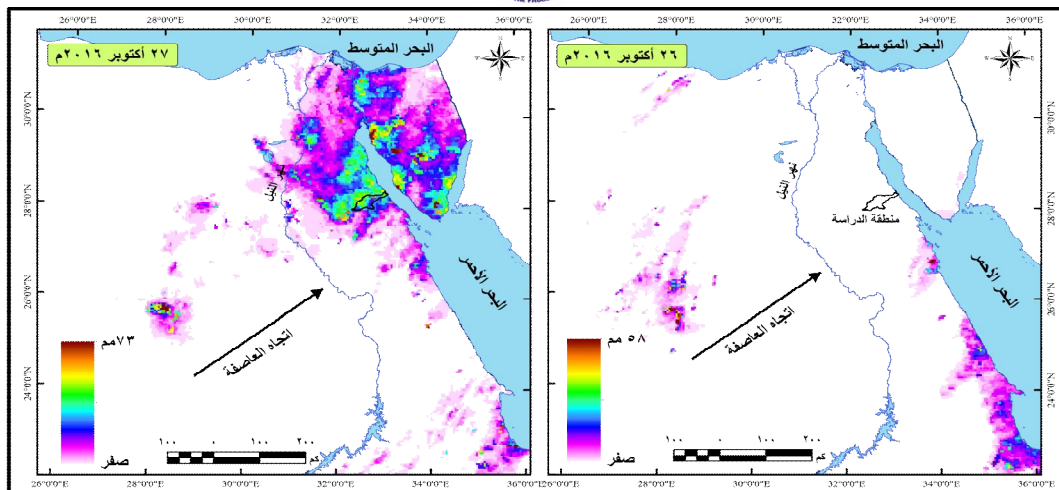
تعرضت منطقة الدراسة لسيول مدمرة ترب علىها خسائر في الأرواح والممتلكات وذلك في يومي ٢٨ - ٢٩ أكتوبر عام ٢٠١٦م في مدينة رأس غارب، ونظراً لعدم وجود محطات رصد مناخية داخل أحواض المنطقة، فقد اعتمدت الدراسة على بيانات مشروع PERSIANN التابع لمركز الأرصاد الجوية والهيدرولوجية والاستشعار عن بعد (\*\*\*)

في جامعة كاليفورنيا والذي يقوم على استخراج بيانات الأمطار من صور الأقمار الصناعية بواسطة النماذج الشبكية العصبية Neural Network Models ، حيث تتوفر البيانات في ثلاثة أنماط حيث تم الاعتماد على البيانات من نوع PERSIANN-CCS (\*\*\*\*) وهي بيانات عالية الدقة المكانية حيث يصل حجم الخلية فيها إلى ٤ كم X ٤ كم. ويوضح الشكلين رقم (٤) و(٥) حجم التساقط المطري على أحواض منطقة الدراسة.

يلاحظ من خلال دراسة الشكل رقم (٤) أن المنطقة قد تأثرت بالعاصفة المطرية في يوم ٢٧ أكتوبر ٢٠١٦ م والتي بلغت قوتها ٧٣ مم في النطاق الشمالي الشرقي من خليج السويس، أما متوسط عمق المطر الذي سقط على أحواض المنطقة والذي يوضحه الشكل رقم (٥) فقد تراوح بين (٨ - ٢٧) مم و بمتوسط تساقط بلغ ١٥.٨ مم، وهو ما يقارب أكبر كمية مطر تم تسجيلها في محطة السويس والتي بلغت ٣٥ مم، في حين أن أكبر كمية مطر سجلتها هذه العاصفة وفق تلك البيانات بلغت ٢٧ مم، ولعل الفارق بين الكميتين يرجع إلى عامل انخفاض كمية التساقط بالاتجاه نحو الجنوب. وقد تم الاعتماد على البيانات المستخرجة من هذه النماذج حساب حجم المطر الساقط على أحواض المنطقة وفق المعادلة الآتية :

$$R_{vol} = (R_{cum} / 1000 \text{ mm/m}) iz^{(2)} \quad (2)$$

حيث أن  $R_{vol}$  حجم المطر و  $R_{cum}$  إجمالي المطر بالملليمتر و  $iz$  حجم الخلية بالمتر المربع، وتضم أحواض المنطقة ٨٩ خلية يبلغ حجم الخلية الواحدة ١٦ كم ٢ وتحتفل كمية المطر داخل كل خلية، وبتطبيق المعادلة السابقة يتضح أن حجم المطر الساقط على المنطقة بلغ ٢٢.٣ مليون م ٣ من المياه يوم ٢٧ أكتوبر ٢٠١٦ م.



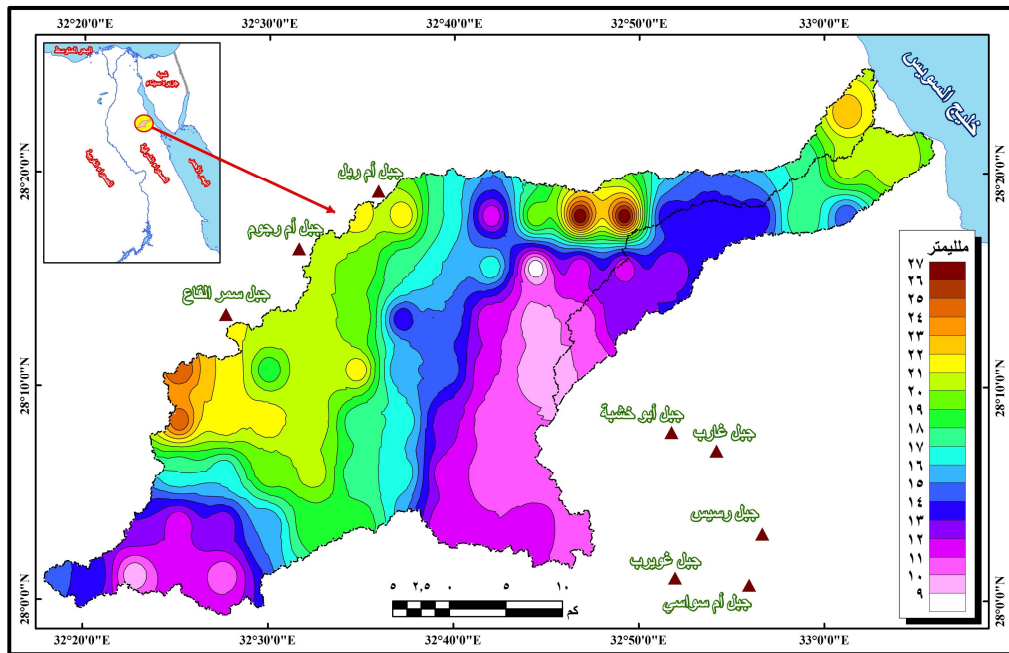
المصدر : من عمل الباحث اعتماداً على البيانات المستخرجة من PERSIANN-CCS

#### شكل (٤) مسار العاصفة المطرية يومي ٢٦-٢٧ أكتوبر ٢٠١٦

وقد تم دراسة سجل العاصفة المطرية التي حدثت يوم ٢٧ أكتوبر ٢٠١٦ م بعد الحصول على بيانات لكمية المطر على مدار الساعة، حيث تم اقتطاع ٢٤ لوحدة تمثل كمية المطر في منطقة الدراسة خلال ٢٤ ساعة بداية من الساعة (صفر) الثانية عشر صباحاً وحتى الساعة (٢٣) الحادية عشر مساءً، ويوضح الشكل رقم (٦) هيdrogrاف السيل الناتج عن تلك العاصفة، حيث غطت هذه العاصفة أحواض المنطقة في فترات زمنية مختلفة، وقد بلغ إجمالي ما سقط من المياه خلال هذه المادة ٦٧ مم موزعة على ٢٤ ساعة كما يوضحها هذا الشكل، حيث يلاحظ أن أكبر كمية تساقط قد سقطت خلال الفترة من الساعة (١٣ - ١٩) أي من الساعة الواحدة ظهراً وحتى الساعة السابعة مساءً حيث سقط خلال هذه الفترة نحو ٦١ مم من المياه، حيث تمثل هذه الفترة ذروة المطر والذي أعقبها الجريان السيلى الذي تسبب في حدوث تلك السيول. كذلك تم حساب الشدة المطرية وفق المعادلة الآتية :

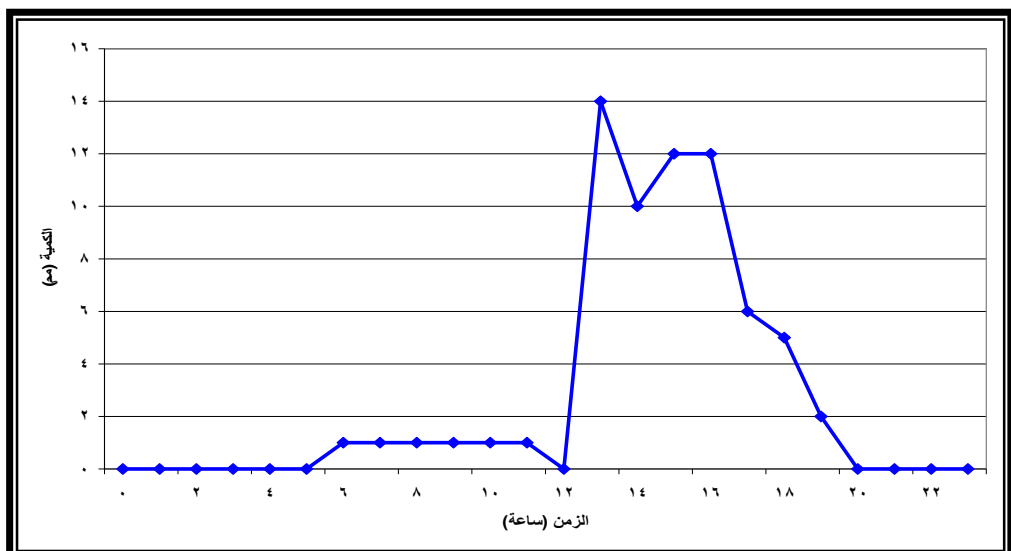
$$R_{int} = 7.44 \times P_6 \times D^{-0.645} \quad (22)$$

حيث أن  $R_{int}$  شدة المطر و  $P_6$  كمية المطر الساقط خلال ٦ ساعات و  $D$  فترة العاصفة بالدقائق، وقد بلغت شدة العاصفة صفر في أول ست ساعات من يوم ٢٧ أكتوبر ٢٠١٦ م، وبلغت ٠٦ مم/ساعة في ثاني ست ساعات، بينما بلغت ٥٥.٢ مم/ساعة في ثالث ست ساعات وبلغت ٠٧ مم/ساعة في رابع ست ساعات، في حين بلغت ٥٥.٩ مم/ساعة خلال فترة ذروة المطر من الساعة الواحدة ظهراً وحتى السابعة مساءً.



المصدر : من عمل الباحث اعتماداً على البيانات المستخرجة من PERSIANN-CCS

**شكل (٥) متوسط عمق المطر في العاصفة المطرية يوم ٢٧ أكتوبر ٢٠١٦ م**



المصدر : من عمل الباحث اعتماداً على البيانات المستخرجة من PERSIANN-CCS

**شكل (٦) هيدروجراف السيول للعاصفة المطرية يوم ٢٧ أكتوبر ٢٠١٦ م**

## ٤. أحواض منطقة رأس غارب

تضم منطقة رأس غارب حوضين رئيسيين هما حوض وادي أبو حاد في الشمال وحوض وادي جنوب أبو حاد في الجنوب، حيث يصب الأول شمال مدينة رأس غارب بينما ينتهي الثاني إلى الجزء الغربي الأوسط من المدينة. ويوضح الجدول رقم (٩) بعض الخصائص المورفومترية لأحواض التصريف بالمنطقة والتي يتضح منه ما يلي :

أ. تضم منطقة الدراسة حوضين أحدهما كبير المساحة (أبو حاد) والآخر صغير المساحة (جنوب أبو حاد).

ب. يغلب على أحواض المنطقة الاستطالة والتي بلغت (٠,٤٤ - ٠,٣٩) للحواضن على الترتيب، وهو ما يؤكد معامل الانبعاج الذي بلغت قيمته (٢,٠٧ - ١,٦٤) لكلا الحواضن وبالتالي تفاظحها واستطالتها. كما تتسم بعدم تناسق الشكل وإقترابها من الشكل المثلث حيث بلغت قيمة معامل الشكل في كلا الحواضن (٠,١٥ - ٠,١٢) على الترتيب، في حين تشير قيم الاندماج إلى عدم انتظام وتناسق هذه الأحواض وكثرة تعرج محيطاتها.

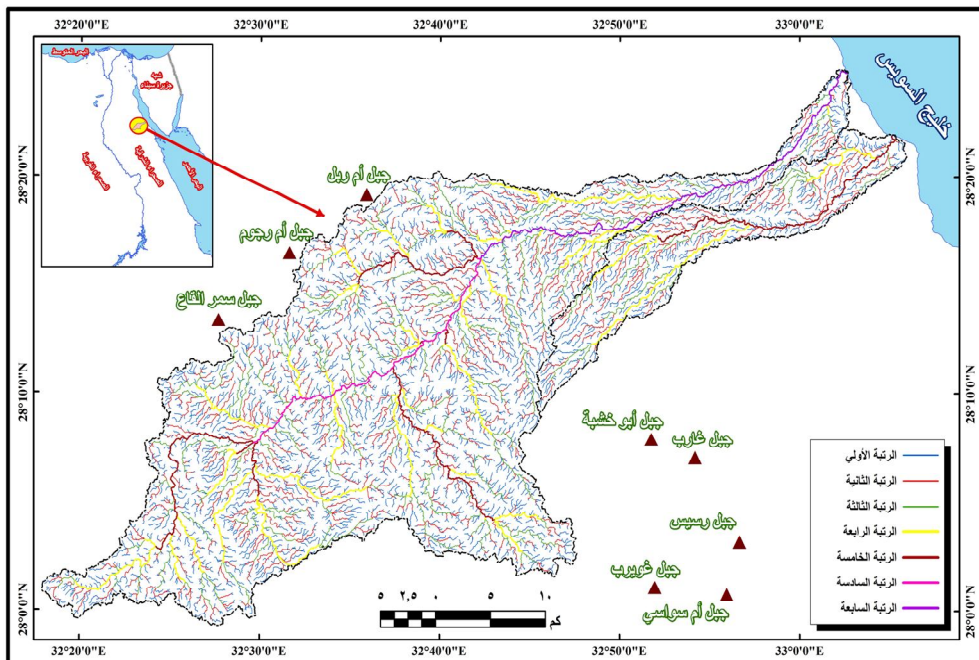
ج. تتسم أحواض منطقة الدراسة بقلة تضرس السطح والتي بلغت (٠,٠٢ - ٠,٠١) على الترتيب، في حين تشير قيم التضاريس النسبية المنخفضة إلى مقاومة الصخور للتعرية حيث بلغت (٠,٣٦ - ٠,٦٩). كما تؤكد بيانات الوعورة (٢,١٣ - ٢,٩٤) على زيادة التضرس الحوضي والذي بلغ (١٠٦٢ - ٧٨٧) لكلا الحواضن على الترتيب، بينما تؤكد بيانات الرقم الجيومترى على قلة انحدار السطح وهو ما تؤكد بيانات التكامل الهبسومترى وبالتحديد في حوض أبو حاد.

د. بلغ حوض أبو حاد الرتبة السابعة في حين بلغ حوض جنوب أبو حاد الرتبة الخامسة، شكل رقم (٧). وتشير بيانات كثافة التصريف المنخفضة إلى ارتفاع نسبة التسرب المائي وقلة سقوط الأمطار وكبر مساحة الحوض كما في حوض أبو حاد، ويتراوح النسيج الطبوغرافي فيها بين المتوسط كما في حوض جنوب أبو حاد والناعم في حوض أبو حاد.

### جدول (٩) مورفومترية أحواض التصريف المائي بمنطقة الدراسة.

تضاريس الحوض	المحيط (كم)	العرض (كم)	الطول (كم)	المساحة (كم) ٢	الحوض
١٠٦٢	٢٩٦.٣	١٩.١	٨٦.٦	١١٤٦.٦	أبو حاد
٧٨٧	١١٤.٢	٥٨	٤١.٦	٢٠٩.٠٩	جنوب أبو حاد
البعاج	الاندماج	الشكل	الاستطالة	الاستدارة	الحوض
١.٦٤	٢.٤٧	٠.١٥	٠.٤٤	٠.١٧	أبو حاد
٢.٠٧	٢.٢٣	٠.١٢	٠.٣٩	٠.٢٠	جنوب أبو حاد
التكامل الهيسومترى	الرقم الجيومترى	الوعرة	تضاريس النسبية	نسبة التضرس	الحوض
١.٠٨	٤.١٩	٢.٩٤	٠.٣٦	٠.٠١	أبو حاد
٠.٢٧	١.٩٦	٢.١٣	٠.٦٩	٠.٠٢	جنوب أبو حاد
الرتب	النسيج الطبوغرافي	كثافة التصريف	أطوال المجاري	أعداد المجاري	الحوض
٧	١٥.٧١	٢.٧٧	٣١٧٦.٦	٤٦٥٥	أبو حاد
٥	٥.٨٨	٢.٧١	٥٦٥.٦	٦٧١	جنوب أبو حاد

المصدر : من عمل الباحث اعتماداً على الخرائط الطبوغرافية مقاييس ١ : ٥٠٠٠٠ وملفات الارتفاعات الرقمية لمنطقة الدراسة بدقة مكانية ٣٠



المصدر : من إعداد الباحث اعتماداً على ملفات الارتفاعات الرقمية التي تنتجهها هيئة المساحة الجيولوجية الأمريكية USGS.

شكل (٧) شبكة التصريف المائي في أحواض منطقة رأس غارب

## ثانياً : النمدجة الهيدرولوجية وتقدير تصريف السيول

اعتمدت الدراسة على نموذج سنایدر (1938) في حساب وحدة الهيدروجراف لأحواض التصريف المائي، ويقصد بوحدة الهيدروجراف تغير تصريف النهر مع الوقت لفترة زمنية محددة من الأمطار عندما يكون عمق المطر المؤثر في الجريان (اسم) أو (1 بوصة)<sup>(٢٣)</sup>. ويعود نموذج سنایدر أحد أقدم النماذج التي تم تقديمها لحساب وحدة الهيدروجراف لحوض ما بالاعتماد على خصائص وأبعاد حوض التصريف نفسه وذلك في المناطق التي يصعب فيها قياس العواصف المطالية، كما هو الحال في المناطق الجافة، كذلك يمكن تطبيقها على أي حوض مائي على اختلاف ظروفها المناخية لأنها لا تعتمد على القياسات المطالية ولا على قيم الجريان السطحي بل تعتمد على خصائص الأحواض المورفومترية<sup>(٤٤)</sup>. وتقوم فكرة هذا النموذج على اشتقاء وحدة الهيدروجراف لحوض التصريف المائي بالاعتماد على عاملين مهمين في ذلك هما عامل زمن تدفق الذروة Peak flow time factor ويرمز له بالرمز (*ct*) وتتراوح قيمته بين (١.٨ - ٢.٢)، وزمن تدفق الذروة Peak flow factor ويرمز له بالرمز (*cp*) وتتراوح قيمته بين (٠.٥ - ٠.٧)، حيث تم الاعتماد عليهما في حساب باقي المعاملات التي تساهم في اشتقاء وحدة الهيدروجراف<sup>(٤٥)</sup>.

وقد حقق نموذج سنایدر انتشاراً واسعاً بفضل التعديلات التي قام بها العديد من الباحثين والهيئات ومنهم سلاح المهندسين في الجيش الأمريكي، وكل من شو (Chow) (Ramerez, et.al, 1988) و زنجبيو يو (Zhongbo you, 1998) و راميريز (Raghunath, 1991, 2006, 2000) و راجوناث (Raghunath, 1991, 2006) والتي شملت تغيير قيم معاملات سنایدر بما يتاسب مع الوحدات المترية بدلاً من الوحدات الإنجليزية<sup>(٤٦)</sup>.

ويكون نموذج سنایدر Snyder من مجموعة من المعادلات الرياضية البحتة التي

تعتمد على بعض المعاملات المورفومترية لأحواض التصريف المائي والتي تم استخراجها بالاعتماد على نموذج الارتفاع الرقمي للمنطقة من نوع SRTM بدقة تميزية مكانية بلغت ٣٠م، حيث تم معالجة النموذج واستخراج البيانات المطلوبة منه بالاعتماد على بعض برامج نظم المعلومات الجغرافية وبالتحديد برنامج Arc GIS 10.5 وبرنامج WMS 11.0 (Raghunath, 1991,2006) وقد تم الاعتماد على النموذج المعدل بواسطة راجوناث Raghunath، حيث أعطي راجوناث قيم مناسبة لقيميتي ( $ct$ ) و ( $cp$ ) والتي تراوحت بين (٢٠,٢ - ٢,٥) علي الترتيب. وفيما يلي عرض للمعادلات الرياضية التي تم تطبيقها للوصول إلى وحدة الهيدروجراف لأحواض المنطقة وهي كما يلي :

١. زمن استجابة الأحواض المائية لتساقط الأمطار (ساعة) للوصول إلى ذروة التصريف  $T_p^{(hr)}$  والذي يعرف بزمن التباطؤ Lag Time والذى يمثل الفترة الزمنية بين ذروة سقوط الأمطار وذروة الجريان السيلى ويتم حسابه وفق المعادلة الآتية رقم (١) :-

$$T_p^{(hr)} = ct (L_b L_{ca})^{0.3} \quad (\text{Raghunath, 2006})$$

حيث أن  $T_p^{(hr)}$  زمن التباطؤ  $L_b$  طول المجرى الرئيسي للحوض و  $L_{ca}$  المسافة الفاصلة بين مصب الحوض المائي ومركز ثقله (كم) و  $ct$  معامل زمن تدفق الذروة أو معامل التباطؤ وهو خاص بطبيعة الحوض وانحداره Peak flow time factor وتنراوح قيمته بين (٠,٢ - ٢,٤).

ويلاحظ من الجدول رقم (١٠) أن فترة الاستجابة تراوحت بين ٢,٩ - ٣٢,١ ساعة في حوض أبو حاد وبين ٠,٥ - ٥,٨ ساعة في حوض جنوب أبو حاد. ولعل هذا ما يفسر الفترة الزمنية من سقوط الأمطار يوم ٢٧ أكتوبر والجريان السيلى صباح يوم ٢٨ أكتوبر. ويلاحظ أنه كلما زادت قيمة ( $ct$ ) زادت فترة الاستجابة والعكس، وقد تراوحت هذه القيمة بين (١,٦٩ - ١٨,٦٣) ساعة في حوض عرنة شرق مدينة مكة المكرمة كما تراوحت بين (١,٥٩ - ١٧,٤٥) ساعة في حوض نعمان جنوب مدينة مكة المكرمة.

#### جدول (١٠) فترة الاستجابة والفتررة القياسية للأمطار في أحواض المنطقة.

T <sub>r</sub>		T <sub>p</sub>		ct
جنوب أبو حاد	أبو حاد	جنوب أبو حاد	أبو حاد	
٠.٣١٢	٠.٥٣١	١.٧١٥	٢.٩١٩	٠.٢
٠.٦٢٤	١.٠٦٢	٣.٤٣١	٥.٨٣٩	٠.٤
٠.٩٣٦	١.٥٩٢	٥.١٤٦	٨.٧٥٨	٠.٦
١.٢٤٨	٢.١٢٣	٦.٨٦٢	١١.٦٧٧	٠.٨
١.٥٥٩	٢.٦٥٤	٨.٥٧٧	١٤.٥٩٧	١
١.٨٧١	٣.١٨٥	١٠.٢٩٣	١٧.٥١٦	١.٢
٢.١٨٣	٣.٧١٥	١٢.٠٠٨	٢٠.٤٣٥	١.٤
٢.٤٩٥	٤.٢٤٦	١٣.٧٢٤	٢٣.٣٥٤	١.٦
٢.٨٠٧	٤.٧٧٧	١٥.٤٣٩	٢٦.٢٧٤	١.٨
٣.١١٩	٥.٣٠٨	١٧.١٥٤	٢٩.١٩٣	٢
٣.٤٣١	٥.٨٣٩	١٨.٨٧٠	٣٢.١١٢	٢.٢

المصدر : من عمل الباحث بالاعتماد على المعادلة رقم (١) ورقم (٢).

٢. الفتررة الزمنية القياسية لتمثيل زمن ذروة سقوط الأمطار (ساعة)  $T_r^{(hr)}$  وتنستخدم هذه المعادلة عندما تكون فتررة سقوط الأمطار ( $Tr$ ) لا تتجاوز زمن استجابة الحوض

( $T_p$ ) وهو ما ينطبق على أحواض المنطقة، ويمكن حسابها من خلال المعادلة الآتية

- رقم (٢) :

$$T_r^{(hr)} = \frac{T_p^{(hr)}}{5.5} \quad (\text{Réméniéras G, 1972})$$

حيث أن  $T_r^{(hr)}$  الفتررة القياسية لتمثيل زمن ذروة سقوط الأمطار و  $T_p^{(hr)}$  زمن

استجابة حوض التصريف لتساقط الأمطار. ويلاحظ من جدول رقم (١٠) أن الفترة

الزمنية القياسية لتمثيل زمن ذروة هطول الأمطار قد تراوحت بين ١٨.٩ - ١٧ ساعتين في

حوض أبو حاد وبين ٠٣ - ٣.٤ ساعتين في حوض جنوب أبو حاد. وبناء على ذلك فإن

حوض جنوب أبو حاد يحتاج إلى فترة لا تزيد عن ٣.٤ ساعتين للوصول إلى ذروة التساقط

المطري والجريان السيلي، وذلك مرتبطة بإانخفاض قيمة  $T_p^{(hr)}$  التي تمثل زمن

استجابة الحوض والتي تتأثر في الأساس بقيمة  $ct$ ، حيث أنه كلما زادت قيمتها زادت

معها فترة استجابة الحوض وهو ما يعني قلة الانحدار وزيادة الأزمنة الأخرى في حين أن انخفاضها يشير إلى زيادة الانحدار ومن ثم انخفاض الأزمنة الأخرى، وذلك عكس وادي أبو حاد الذي ترتفع فيه قيمة  $Ct$  مما أثر في زمن الاستجابة وفترة ذروة المطر.

### ٣. كمية التدفق الأقصى للسيول ( $m^3/\text{ث}$ ) $Q_p$ ويتم حسابها وفق المعادلة الآتية

- رقم (٣)

$$Q_p^{(m^3/\text{s})} = \frac{Cp(A)}{T_p^{(hr)}} \quad (\text{Raghunath 2006})$$

حيث أن  $Q_p^{(m^3/\text{s})}$  كمية التدفق الأقصى للسيول و( $A$ ) مساحة الحوض و ( $cp$ )

معامل تدفق الذروة Peak flow factor ويرتبط بقابلية الحوض لتخزين المياه وله علاقة بالنفاذية وتراوح قيمته بين (٢٠ - ٦٥). ويوضح الجدول رقم (١١) كمية التدفق الأقصى للسيول في أحواض المنطقة والذي يتضح منه أن قيمة تصريف وادي أبو حاد تتراوح بين (٧١.٤ - ٢٥٥٣.٠)  $\text{م}^3/\text{ث}$ ، في حين تتراوح قيمة أقصى تصريف لحوض جنوب أبو حاد بين (٧٩٢.٣ - ٢٢.٢)  $\text{م}^3/\text{ث}$ . ويلاحظ أنه كلما زادت قيمة ( $cp$ ) كلما زاد معه قيمة التدفق الأقصى للسيول، في حين أن العلاقة عكسية بين قيمة ( $Ct$ ) وأقصى تدفق للسيول. وقد تراوحت هذه الكمية بين (٦١ - ٢١٧٠)  $\text{م}^3/\text{ث}$  في حوض عرنة شرق مكة المكرمة، و بين (٧٩ - ٢٨٠٦)  $\text{م}^3/\text{ث}$  في حوض نعمان جنوب مكة المكرمة والتي تبلغ مساحتها (٥٦٥.٣ - ٦٨٥.١) كم٢ لكل حوض منها على الترتيب.

### ٤. زمن الأساس للسيول (القاعدة الزمنية للهيدروجراف أو زمن السيول) (يوم) $T_b$ (days)

ويتم حسابها وفق المعادلة الآتية رقم (٤) :-

$$T_b (\text{days}) = 3 + \frac{T_p^{(hr)}}{8.0} \quad (\text{عبد الرحمن و ماردينى، ٢٠٠٣})$$

حيث أن ( $T_b$ ) (days) زمن الأساس للسيول والذي تبلغ مدة ثلثة أيام للأحواض الكبيرة المساحة و  $T_p^{(hr)}$  زمن استجابة حوض التصريف لتساقط الأمطار، ويلاحظ تأثر

زمن الأساس للسيل بقيمة زمن الاستجابة  $T_p^{(hr)}$  والتي كلما زادت ارتفع معها زمن الأساس الذي يتاثر أيضاً بالزيادة في قيم معامل التباطؤ ( $ct$ ). ويلاحظ أن زمن الأساس للسيل يتراوح بين ٣,٤ - ٧,٠ يوم في حوض أبو حاد وبين ٥,٤ - ٣,٢ يوم في حوض جنوب أبو حاد، جدول رقم (١٢)، وهي قيم مرتفعة لا تتوافق مع أحواض المنطقة حيث تم حسابها على أساس الأحواض كبيرة المساحة (٣ - ٥ أيام) ولذلك تم استبدالها بمعادلة سنایدر الآتية رقم (٥) والتي تتوافق مع الأحواض صغيرة المساحة.

**جدول (١١) كمية التدفق الأقصى للسيول في أحواض المنطقة.**

٦,٥		٦,٠		٥,٠		٤,٠		٣,٠		٢,٠		cp
جنوب	أبو حاد	ct										
٧٩٢,٣	٢٥٥٣,٠	٧٧١,٣	٢٣٥٦,٧	٦٩,٤	١٩٦٣,٩	٤٨٧,٥	١٥٧١,١	٣٦٥,٧	١١٧٨,٣	٢٤٣,٨	٧٨٥,٦	٠,٢
٣٩٦,١	١٢٧٦,٥	٣٦٥,٧	١١٧٨,٣	٣٤,٧	٩٨١,٩	٢٤٣,٨	٧٨٥,٦	١٨٢,٨	٥٨٩,٢	١٢١,٩	٣٩٢,٨	٠,٤
٣٦٦,١	٨٥١,٠	٢٤٣,٨	٧٨٥,٦	٢٣,١	٦٥٤,٦	١٢٢,٥	٥٣٢,٧	١٢١,٩	٣٩٢,٨	٨١,٣	٢٦٦,٩	٠,٦
١٩٨,١	٦٣٨,٣	١٨٢,٨	٥٨٩,٢	١٥٢,٤	٤٩١,٠	١٢١,٩	٣٩٢,٨	٩١,٤	٢٩٤,٦	٦٠,٩	١٩٧,٤	٠,٨
١٥٨,٥	٥١٠,٦	١٤٦,٣	٤٧١,٣	١٢١,٩	٣٩٢,٨	٩٧,٥	٣١٤,٢	٧٣,١	٢٣٥,٧	٤٨,٨	١٥٧,١	١,٠
١٣٢,٠	٤٢٥,٥	١٢١,٩	٣٩٢,٨	١٠١,٦	٣٧٧,٣	٨١,٣	٢٦١,٩	٦٠,٩	١٩٦,٤	٤٠,٦	١٣٠,٩	١,٢
١١٣,٢	٣٦٤,٧	١٠٤,٥	٢٣٦,٧	٨٧,١	٢٨٠,٦	٦٩,٦	٢٢٤,٤	٥٢,٢	١٦٨,٣	٣٦,٨	١١٢,٢	١,٤
٩٩,٠	٣١٩,١	٩١,٤	٢٩٤,٦	٧٦,٢	٢٤٥,٥	٦٠,٩	١٩٦,٤	٤٠,٧	١٤٧,٣	٣٠,٥	٩٨,٢	١,٦
٨٨,٠	٢٨٧,٧	٨١,٣	٢٦١,٩	٦٧,٧	٢١٨,٢	٥٤,٢	١٧٤,٦	٤٠,٦	١٣٠,٩	٧٧,١	٨٧,٣	١,٨
٧٩,٢	٢٥٥,٣	٧٣,١	٢٣٥,٧	٦٠,٩	١٩٦,٤	٤٨,٨	١٥٧,١	٣٦,٦	١١٧,٨	٤٤,٤	٧٨,٦	٢,٠
٧٢,٠	٢٢٧,١	٦٦,٥	٢١٤,٢	٥٥,٤	١٧٨,٥	٤٤,٣	١٤٢,٨	٣٣,٢	١٠٧,١	٢٢,٢	٧١,٤	٢,٢

المصدر : من عمل الباحث بالأعتماد على المعادلة رقم (٣)

**٥. زمن الأساس للسيل (ساعة)  $T_b$  (hours)** وذلك وفق المعادلة الآتية رقم (٥) :

$$T_b \text{ (hours)} = (T_p)^{(hr)} \times 4 \quad (٢٠١٢) \quad (\text{محمد سعيد البارودي، ٢٠١٢})$$

حيث أن  $T_b$  زمن الأساس للسيل (ساعة) و  $T_p^{(hr)}$  زمن استجابة حوض

التصريف لتساقط الأمطار، وقد تراوح زمن الأساس للسيل في حوض أبو حاد بين ١١,٧

- ١٢٨,٥ ساعة وفي حوض جنوب أبو حاد بين ٦,٩ - ٧٥,٥٥ ساعة. وقد تراوحت هذه الفترة

بين (٦,٨ - ٧٤,٥) ساعة في ادي عرنة و (٦,٤ - ٦٩,٨) ساعة في وادي نعمان.

### جدول (١٢) زمن الأساس للسيل (يوم - ساعة) في أحواض المنطقة.

$(T_b)$ (hours)		$(T_b)$ (day)		ct
جنوب أبو حاد	أبو حاد	جنوب أبو حاد	أبو حاد	
٦,٨٦٢	١١,٦٧٧	٣,٢١٤	٣,٣٦٥	٠,٢
١٣,٧٢٤	٢٢,٣٥٤	٣,٤٢٩	٣,٧٣٠	٠,٤
٢٠,٥٨٥	٣٥,٠٢٢	٣,٦٤٣	٤,٠٩٥	٠,٦
٢٧,٤٤٧	٤٦,٧٠٩	٣,٨٥٨	٤,٤٦٠	٠,٨
٣٤,٣٠٩	٥٨,٣٨٦	٤,٠٧٢	٤,٨٢٥	١
٤١,١٧١	٧٠,٠٦٣	٤,٢٨٧	٥,١٨٩	١,٢
٤٨,٠٣٢	٨١,٧٤٠	٤,٥٠١	٥,٥٥٤	١,٤
٥٤,٨٩٤	٩٣,٤١٨	٤,٧١٥	٥,٩١٩	١,٦
٦١,٧٥٦	١٠٥,٠٩٥	٤,٩٣٠	٦,٢٨٤	١,٨
٦٨,٦١٨	١١٦,٧٧٢	٥,١٤٤	٦,٦٤٩	٢
٧٥,٤٧٩	١٢٨,٤٤٩	٥,٣٥٩	٧,٠١٤	٢,٢

المصدر : من عمل الباحث بالاعتماد على المعادلة رقم (٤) و (٥).

٦. فترة الارتفاع التدريجي لتدفق السيول  $T_m^{(hr)}$  (days) ويقصد بها الفترة التي يحتاجها الجريان السطحي للوصول إلى أعلى منسوب له، ويتم حسابها وفق المعادلة الآتية رقم (٦) :

$$T_m^{(hr)}(\text{days}) = \frac{1}{3} T_b (\text{days}) \quad (\text{Raghunath 2006})$$

حيث أن  $T_m^{(hr)}$  فترة الارتفاع التدريجي لتدفق السيول الأساس للسيول (days) و  $T_b$  زمن الأساس للسيل (ساعة)، وقد تراوحت فترة الارتفاع (ساعة) و  $T_b$  (days) بين ٢٦,٩ - ٥٦,١ ساعة في حوض أبو حاد وبين ٤٢,٩ - ٢٥,٧ ساعة في حوض جنوب أبو حاد، جدول (١٣).

٧. الارتفاع التدريجي لتدفق السيول اعتماداً على زمن السيول بالساعات ( $T_m^{(hr)}$  hours) ، وذلك تعديلاً لما جاء في المعادلة السابقة التي تم حسابها على أساس الأحواض كبيرة المساحة، ويتم حسابها وفق المعادلة الآتية رقم (٧) :

### جدول (١٣) فترة الارتفاع التدريجي لتدفق السيول (يوم - ساعة) في أحواض المنطقة.

Tm (hours)		Tm (day)		ct
جنوب أبو حاد	أبو حاد	جنوب أبو حاد	أبو حاد	
٢.٢٨٧	٣.٩٩٢	٢٥.٧١٥	٢٦.٩١٩	٠.٢
٤.٥٧٥	٧.٧٨٥	٢٧.٤٣١	٢٩.٨٣٩	٠.٤
٦.٨٦٢	١١.٦٧٧	٢٩.١٤٦	٣٢.٧٥٨	٠.٦
٩.١٤٩	١٥.٥٧٠	٣٠.٨٦٢	٣٥.٦٧٧	٠.٨
١١.٤٣٦	١٩.٤٦٢	٣٢.٥٧٧	٣٨.٥٩٧	١
١٣.٧٢٤	٢٣.٣٥٤	٣٤.٢٩٣	٤١.٥١٦	١.٢
١٦.٠١١	٢٧.٢٤٧	٣٦.٠٠٨	٤٤.٤٣٥	١.٤
١٨.٢٩٨	٣١.١٣٩	٣٧.٧٢٤	٤٧.٣٥٤	١.٦
٢٠.٥٨٥	٣٥.٠٣٢	٣٩.٤٣٩	٥٠.٢٧٤	١.٨
٢٢.٨٧٣	٣٨.٩٢٤	٤١.١٥٤	٥٣.١٩٣	٢
٢٥.١٦٠	٤٢.٨١٦	٤٢.٨٧٠	٥٦.١١٢	٢.٢

المصدر : من عمل الباحث بالاعتماد على المعادلة رقم (٦) و (٧).

$$(T_m^{(hr)} \text{ hours}) = \frac{T_b \text{ (hours)}}{3.0} \quad (\text{محمد سعيد البارودي، ٢٠١٢})$$

حيث أن  $(T_m^{(hr)} \text{ hours})$  فترة الارتفاع التدريجي لتدفق السيول بالساعات (ساعة) و  $T_b \text{ (hours)}$  زمن الأساس للسيول (ساعة)، وقد تراوحت فترة الارتفاع التدريجي لتدفق السيول وفق المعادلة السابقة بين ٣.٩ - ٤٢.٨ ساعة في وادي أبو حاد وبين ٢٥.٢ - ٢.٣ ساعة في وادي جنوب أبو حاد، ويلاحظ هنا تأثير عامل مساحة الحوض على ارتفاع تدفق السيول داخل الحوض. وقد تراوحت هذه الفترة بين (٢.٣ - ٤٢.٨) ساعة في وادي عرنة وبين (٢.١ - ٢٣.٣) ساعة في حوض نعمان.

٨. فترة الانخفاض التدريجي لتدفق السيول  $(T_d^{(hr)} \text{ days})$  ويقصد بها الفترة الزمنية التي يستغرقها السيول لرجوع المياه إلى وضعها الطبيعي، ويتم حسابها وفق المعادلة الآتية رقم (٨ - أ) :-

$$(T_d^{(hr)} \text{ days}) = \frac{2}{3} T_b \text{ (days)} \quad (\text{Raghunath 2006})$$

حيث أن  $(T_d^{(hr)} \text{ days})$  فترة الانخفاض التدريجي لتدفق السيول بالساعات (ساعة) وهي الفترة الزمنية الممتدة بين ذروة التدفق إلى نهايته على الهيدروجراف و  $T_b$

(days) زمن الأساس للسيل (ساعة)، وقد تراوحت فترة الانخفاض التدريجي لتدفق

السيل بين ٥٣,٨ - ١١٢,٢ ساعة في حوض أبو حاد وبين ٥١,٤ - ٨٥,٧ ساعة في حوض

جنوب أبو حاد. ويلاحظ أيضا ارتفاع قيم ناتج المعادلة السابقة وذلك لأنه تم حسابها

علي أساس الأحواض كبيرة في المساحة لذا تم تعديليها بالمعادلة الآتية رقم (٨ - ب) :

$$(T_d^{(hr)} \text{ hours}) = T_b (\text{hours}) \cdot \frac{2}{3} \quad (٢٠١٢)$$

حيث أن  $T_d^{(hr)}$  (hours) فترة الانخفاض التدريجي لتدفق السيول بالساعات

(ساعة) و  $T_b$  (hours) زمن الأساس للسيل (ساعة)، وقد تراوحت تلك الفترة بين ٧,٧

- ٨٥,٦ ساعة في حوض أبو حاد وبين ٤,٦ - ٥٠,٣ ساعة في حوض جنوب أبو حاد، جدول

(١٤). ويلاحظ مما سبق أن الفترة اللازمة للأرتفاع التدريجي لتدفق السيول أقل بكثير

من الفترة اللازمة للإنخفاض التدريجي لتدفق السيول حيث تراوح الفرق بين الفترتين

بين (٣,٨ - ٤٢,٨) ساعة في حوض أبو حاد وبين (٢,٣ - ٢٥,١) ساعة في حوض جنوب أبو

حاد ولعل هذه الفترة تشكل الفترة الزمنية من بداية التساقط المطري يوم ٢٧ أكتوبر

والجريان السيلي يوم ٢٨ أكتوبر وأستمراره في يوم ٢٩ أكتوبر ٢٠١٦ م.

جدول (١٤) فترة الانخفاض التدريجي لتدفق السيول (يوم - ساعة) في أحواض المنطقة.

$T_d^{(hr)}$ (hours)		$T_d^{(hr)}$ / (day)		ct
جنوب أبو حاد	أبو حاد	جنوب أبو حاد	أبو حاد	
٤,٥٧٥	٧,٧٨٥	٥١,٤٣١	٥٣,٨٣٩	٠,٢
٩,١٤٩	١٥,٥٧٠	٥٤,٨٦٢	٥٩,٦٧٧	٠,٤
١٣,٧٢٤	٢٣,٣٥٤	٥٨,٢٩٣	٦٥,٥١٦	٠,٦
١٨,٢٩٨	٣١,١٣٩	٦١,٧٢٤	٧١,٣٥٤	٠,٨
٢٢,٨٧٣	٣٨,٩٢٤	٦٥,١٥٤	٧٧,١٩٣	١
٢٧,٤٤٧	٤٦,٧٠٩	٦٨,٥٨٥	٨٣,٠٣٢	١,٢
٣٢,٠٢٢	٥٤,٤٩٤	٧٢,٠١٦	٨٨,٨٧٠	١,٤
٣٦,٥٩٦	٦٢,٢٧٨	٧٥,٤٤٧	٩٤,٧٠٩	١,٦
٤١,١٧١	٧٠,٠٦٣	٧٨,٨٧٨	١٠٠,٥٤٧	١,٨
٤٥,٧٤٥	٧٧,٨٤٨	٨٢,٣٠٩	١٠٦,٣٨٦	٢
٥٠,٣٢٠	٨٥,٦٣٣	٨٥,٧٤٠	١١٢,٢٢٥	٢,٢

المصدر : من عمل الباحث بالاعتماد على المعادلة رقم (٨ - أ) و (٨ - ب).

٩. تركيز الأمطار المناسبة لتدفق الذروة (سم/ساعة) ، ويتم حسابها وفق المعادلة الآتية رقم (٩) :-

(محمد سعيد البارودي، ٢٠١٢)  $I^{(cm/hr)} = \frac{I}{T_r^{(hr)}}$   
 حيث أن  $I^{(cm/hr)}$  تركيز الأمطار المناسبة لتدفق الذروة (سم/ساعة) و  $T_r^{(hr)}$  الفترة القياسية لتمثيل زمن ذروة سقوط الأمطار، وقد تراوح أدنى وأقصى تركيز أمطار مناسبة لتدفق الذروة في حوض أبو حاد بين ٠.١٧١ - ١.٩ سم/ساعة، في حين تراوح في حوض جنوب أبو حاد بين ٠.٢٩١ - ٣.٢ سم/ساعة، جدول رقم (١٥). ويلاحظ أن العلاقة عكسية بين تركيز الأمطار أو كثافتها وبين الفتر القياسية لزمن ذروة المطر  $T_r^{(hr)}$ ، حيث أنه كلما زادت قيمة الفترة الزمنية قلت كثافة المطر والعكس صحيح وهي أيضاً مرتبطة بقيمة  $Ct$  بعلاقة عكسية أيضاً.

جدول (١٥) تركيز الأمطار المناسبة لتدفق الذروة في أحواض المنطقة.

جنوب أبو حاد		أبو حاد		$Ct$
$I$ (mm)	$I$ (cm/hr)	$I$ (mm)	$I$ (cm/hr)	
٣٢.٠٦٢	٣.٢٠٦	١٨.٨٤٠	١.٨٨٤	٠.٢
١٦.٠٣١	١.٦٠٣	٩.٤٢٠	٠.٩٤٢	٠.٤
١٠.٦٨٧	١.٠٦٩	٦.٢٨٠	٠.٦٢٨	٠.٦
٨.٠١٥	٠.٨٠٢	٤.٧١٠	٠.٤٧١	٠.٨
٦.٤١٢	٠.٦٤١	٣.٧٦٨	٠.٣٧٧	١
٥.٣٤٤	٠.٥٣٤	٣.١٤٠	٠.٣١٤	١.٢
٤.٥٨٠	٠.٤٥٨	٢.٧٩١	٠.٢٦٩	١.٤
٤.٠٠٨	٠.٤٠١	٢.٣٥٥	٠.٢٣٦	١.٦
٣.٥٦٢	٠.٣٥٦	٢.٠٩٣	٠.٢٠٩	١.٨
٣.٢٠٦	٠.٣٢١	١.٨٨٤	٠.١٨٨	٢
٢.٩١٥	٠.٢٩١	١.٧١٣	٠.١٧١	٢.٢

المصدر : من عمل الباحث بالاعتماد على المعادلة رقم (٩)

١٠. قيمة تدفق الذروة النوعي للحوض المائي  $Qp^{(m^3/s/km^2)}$  ، ويتم حسابها وفق المعادلة الآتية رقم (١٠) :-

$$Qp^{(m^3/s/km^2)} = \frac{Q_p^{(m^3/s)}}{A^{(km^2)}} \quad (Raghunath 2006)$$



حيث أن  $Q_p^{(m^3/s)}$  قيمة تدفق الذروة النوعي للحوض المائي  $A (km^2)$  مساحة الحوض، وقد تراوحت قيمة تدفق الذروة النوعي للحوض المائي في المنطقة بين  $0.062 - 0.238 \text{ m}^3/\text{s}/\text{km}^2$  في حوض أبو حاد وبين  $0.106 - 0.238 \text{ m}^3/\text{s}/\text{km}^2$ ، جدول رقم (١٦). وقد تراوحت هذه القيمة بين  $(0.1 - 0.4) \text{ m}^3/\text{s}/\text{km}^2$  في وادي عرنة وبين  $(0.11 - 0.40) \text{ m}^3/\text{s}/\text{km}^2$  في وادي نعمان، حيث يلاحظ أنه كلما قلت مساحة الحوض ارتفعت معه قيمة تدفق الذروة النوعي والعكس صحيح حيث تصرف الأحواض صغيرة المساحة مياهها بشكل أسرع من الأحواض كبيرة المساحة.

جدول (١٦) قيمة تدفق الذروة النوعي في أحواض المنطقة.

٦	٦	٥	٤	٣	٢	cp
جنوب أبو حاد	أبو حاد	جنوب أبو حاد	أبو حاد	جنوب أبو حاد	أبو حاد	ct
٣٧٨٩	٢.٢٢٧	٣.٤٩٨	٢.٠٥٥	٢.٩١٥	١.٧١٣	٢.٣٣٢
١.٨٩٥	١.١١٣	١.٧٤٩	١.٠٢٨	١.٤٥٧	٠.٨٥٦	١.١٦٦
١.٢٣٣	٠.٧٤٢	١.١٦٦	٠.٧٨٥	٠.٩٧٧	٠.٥٧١	٠.٧٧٧
٠.٩٤٧	٠.٥٥٧	٠.٨٧٤	٠.٥١٤	٠.٧٧٩	٠.٤٤٨	٠.٥٨٣
٠.٧٥٨	٠.٤٤٥	٠.٧٠٠	٠.٤١١	٠.٥٨٣	٠.٣٤٣	٠.٣٤٣
٠.٤٣٢	٠.٣٧١	٠.٥٤٣	٠.٣٤٣	٠.٤٨٦	٠.٢٨٥	٠.٣٧١
٠.٤٤١	٠.٣١٨	٠.٥٠٠	٠.٣٧٤	٠.٤١٦	٠.٢٤٥	٠.٣٣٣
٠.٤٧٤	٠.٢٧٨	٠.٤٣٧	٠.٣٧٥	٠.٣٦٤	٠.٢١٤	٠.٤٩١
٠.٤٢١	٠.٢٤٧	٠.٣٨٩	٠.٢٧٨	٠.٣٢٤	٠.١٩٠	٠.٢٥٩
٠.٣٧٩	٠.٢٢٣	٠.٣٥٠	٠.٢٠٦	٠.٢٩١	٠.١٧١	٠.٢٣٣
٠.٣٤٤	٠.٢٠٢	٠.٣١٨	٠.١٨٧	٠.٢٦٥	٠.١٥٦	٠.٢١٢
					٠.١٢٥	٠.١٥٩
					٠.٠٩٣	٠.١٠٦
					٠.٠٩٣	٠.٠٦٢
						٢.٢

المصدر : من عمل الباحث بالأعتماد على المعادلة رقم (١)

١١. الفترة الزمنية  $W_{50}^{(hr)}$  و  $W_{75}^{(hr)}$  المناسبتين لعرض منحنى السيل

(الميدروجراف) عند مستوى ٥٠٪ و ٧٥٪ من تصريف الذروة ، ويتم حسابها وفق المعادلة

الآتية رقم (١١) و (١٢) :-

$$(11) \quad W_{50}^{(hr)} = \frac{5.6}{(Q_p)^{1.08}}$$

(Dubreuil, p. 1974)

$$(12) \quad W_{75}^{(hr)} = \frac{3.21}{(Q_p)^{1.08}}$$

حيث أن  $W_{50}^{(hr)}$  و  $W_{75}^{(hr)}$  الفترة الزمنية المناسبة لقيمة ٥٠٪ و ٧٥٪ من التدفق الأقصى للسيل (م³/ثانية) بينما تمثل قيمة  $Q_p^{(m^3/s/km^2)}$  تدفق الذروة النوعي للحوض المائي، وقد تراوحت الفترة الزمنية المناسبة لعرض منحني السيول (الهيدروجراف) عند مستوى ٥٠٪ بين ٢.٤ - ١١٢.٣ ساعة في وادي أبو حاد وبين ١.٣ - ٦٣.٢ ساعة في حوض جنوب أبو حاد ، جدول رقم (١٧). كما تراوحت الفترة الزمنية المناسبة لعرض منحني السيول (الهيدروجراف) عند مستوى ٧٥٪ بين ١.٤ - ٦٤.٤ ساعة في وادي أبو حاد وبين ٠.٧٦ - ٣٦.٢ ساعة في حوض جنوب أبو حاد ، جدول رقم (١٨).

## ١٢. حجم السيول في الحوض المائي $AL^{(Hm^3)}(10^{6m^3})$ ، ويتم حسابها وفق المعادلة الآتية رقم (١٣) :-

حيث أن  $AL^{(Hm^3)}(10^{6m^3}) = Q_p^{(m^3/s)} [ T_m(sec.) 10^{-6} ]$  (PNUD-OPE, 1987)  
 $Q_p^{(m^3/s)}$  حجم السيول في الحوض المائي، وتمثل  $T_m(sec.)$  فترة الارتفاع التدريجي كمية التدفق الأقصى للسيول، في حين تمثل  $(T_m(sec.) 10^{-6})$  لتدفق السيول، وقد تراوح حجم السيول في حوض أبو حاد بين ١٤.٤ - ٢٤٧.٤ مليون/م³ وبين ٣.٤ - ٧٣.٣ مليون/م³ في حوض جنوب أبو حاد، جدول (١٩). وقد تراوح حجم السيول بين (٩.٣ - ٢٠٠.٧ مليون م³) في وادي عرنة وبين (١١.٧ - ٢٥٨.٥ مليون م³) في وادي نعمان.

### جدول (١٧) الفترة الزمنية $W_{50}$ المناسبة لعرض منحني السيول في أحواض المنطقة.

٦	٦	٥	٤	٣	٢	cp						
جنوب أبو حاد	أبو حاد	جنوب أبو حاد	أبو حاد	جنوب أبو حاد	أبو حاد	أبو حاد						
١.١٣	٢.٣٦	١.٤٥	٢.٥٧	١.٧٦	٣.١٣	٤.٧٤	٨.٤٣	٠.٢				
٢.٨١	٤.٩٩	٣.٠٦	٥.٤٤	٣.٧٣	٦.٦٢	٤.٧٤	٨.٤٣	١٧.٨١	٠.٤			
٤.٣٥	٧.٧٣	٤.٧٤	٨.٤٣	٥.٧٨	١٠.٢٦	٧.٣٥	١٢.٥٥	١٠.٠٣	٢٧.٦٠	٠.٦		
٥.٩٤	١٠.٠٤	٦.٤٧	١١.٥٠	٧.٨٨	١٤.٠٠	١٠.٠٣	١٧.٨١	١٣.٦٩	٢٤.٣٠	٢١.٢٠	٣٧.٦٥	٠.٨
٧.٥٦	١٣.٤٢	٨.٢٤	١٤.٦٣	١٠.٠٣	١٧.٨١	١٢.٧٦	٢٢.٦٦	١٧.٤١	٣٠.٩٢	٢٦.٩٨	٤٧.٩١	١
٩.٢٠	١٦.٣٤	١٠.٠٣	١٧.٨١	١٢.٧١	٢١.٧٩	١٥.٥٤	٢٧.٦٠	٢١.٢٠	٣٧.٦٥	٣٢.٨٦	٥٨.٣٤	١.٢
١٠.٨٧	١٩.٣٠	١١.٨٠	٢١.٠٤	١٤.٤٣	٢٥.٦٢	١٨.٣٦	٢٢.٦٠	٢٥.٥	٤٤.٤٧	٣٨.٨١	٦٨.٩١	١.٤
١٢.٥٥	٢٢.٧٩	١٣.٦٩	٢٤.٣٠	١٦.٦٦	٢٩.٥٩	٢١.٢٠	٣٧.٦٥	٢٨.٩٣	٥١.٣٧	٤٤.٨٣	٧٩.٦٠	١.٦
١٤.٢٥	٢٥.٣١	١٥.٥٤	٢٧.٣٠	١٨.٩٢	٣٣.٦٠	٢٤.٨	٤٧.٦٧	٣٢.٨٦	٥٨.٣٤	٥٠.٩١	٩٠.٤٠	١.٨
١٥.٩٧	٢٨.٣٦	١٧.٤١	٣٠.٩٢	٢١.٢٠	٣٧.٦٥	٢٦.٩٨	٤٧.٩١	٣٦.٨١	٦٥.٣٧	٥٧.٠٤	١٠١.٦٩	٢
١٧.٧٠	٣١.٤٤	١٩.٣٠	٣٤.٢٨	٢٢.٥٠	٤١.٧٤	٢٩.٩١	٥٣.١١	٤٠.٨١	٧٧.٤٦	٦٦.٧٣	١١٢.٢٨	٢.٢

المصدر : من عمل الباحث بالأعتماد على المعادلة رقم (١١)

### جدول (١٨) الفترة الزمنية W75 المناسبة لعرض منحني السيل في أحواض المنطقة.

٦.٥	٦	٥	٤	٣	٢	cp
جنوب أبو حاد	أبو حاد	جنوب أبو حاد	جنوب أبو حاد	جنوب أبو حاد	جنوب أبو حاد	ct
٠,٧٦	١,٣٥	٠,٨٣	١,٤٧	١,١	١,٨٠	١,٢٩
١,٦١	٢,٨٦	١,٧٦	٣,١٢	٢,١٤	٣,٨٠	٢,٧٢
٢,٤٩	٤,٤٣	٢,٧٢	٤,٨٣	٣,٣١	٥,٨٨	٤,٢١
٣,٤٠	٦,٠٤	٣,٧١	٦,٥٩	٤,٥٢	٨,٠٢	٥,٧٥
٤,٣٣	٧,٧٩	٤,٧٢	٨,٣٨	٥,٧٥	١٠,٢١	٧,٣٢
٥,٢٧	٩,٣٦	٥,٧٥	١٠,٢١	٧,٠٠	١٢,٤٣	٨,٩١
٦,٢٢	١١,٦	٦,٧٩	١٢,٦	٨,٧٧	١٤,٦٨	١٠,٥٢
٧,١٩	١٢,٧٨	٧,٨٤	١٣,٩٣	٩,٥٥	١٦,٩١	١٢,١٥
٨,١٧	١٤,٥١	٨,٩١	١٥,٦٢	١٠,٨٥	١٩,٦٦	١٣,٨٠
٩,١٦	١٥,٦٦	٩,٩٨	١٧,٧٣	١٢,١٥	٢١,٥٨	١٥,٦٧
١٠,١٥	١٨,٠٢	١١,٠٦	١٩,٦٥	١٣,٤٧	٢٣,٩٢	١٧,١٤
					٣٠,٤٤	٢٣,٣٩
					٤١,٥٤	٣٦,٢٤
					٦٤,٣٦	٥٦,٣٦
						٢,٢

المصدر : من عمل الباحث بالاعتماد على المعادلة رقم (١٢)

### جدول (١٩) أحجام السيول في أحواض المنطقة.

٦.٥	٦	٥	٤	٣	٢	cp
جنوب أبو حاد	ct					
٧٣,٣٤	٢٤٧,٤١	٦٧,٧٠	٢٢٨,٣٨	٥٦,٤٢	١٩٠,٣٢	٤٠,١٤
٣٩,١٢	١٣٧,١٢	٣٣,١١	١٢٧,٥٧	٣٠,٩	١٠٠,٦٨	٢٤,٠٧
٢٧,٧١	١٠٠,٦٦	٢٥,٥٨	٩٢,٤٢	٢١,٣٢	٧٧,٢٠	١٧,٥
٢٢,٠١	٨١,٩٨	٢٠,٣١	٧٥,٦٧	١٦,٩٣	٦٣,٥٦	١٣,٥٤
١٨,٥٨	٧,٩٥	١٧,١٥	٦٥,٦٩	١٤,٦٩	٥٦,٥٦	١١,٦٤
١٦,٣٠	٦٣,٦٠	١٥,٥	٥٨,٧٠	١٢,٥٤	٤٨,٩٢	١٠,٠٣
١٤,٦٧	٥٨,٣٤	١٣,٥٤	٥٣,٨٥	١١,٦٩	٤٤,٨٨	٩,٠٣
١٣,٤٥	٥٦,٤٠	١٢,٤١	٥٠,٢٧	١٠,٣٥	٤١,٨٥	٨,٢٨
١٢,٥٠	٥١,٣٤	١١,٥٤	٤٧,٣٩	٩,٦١	٣٩,٦٩	٧,٦٩
١١,٧٤	٤٨,٨٩	١٠,٨٣	٤٥,١٣	٩,٠٣	٣٧,٦١	٧,٢٢
١١,١٢	٤٩,٨٨	١٠,٢٦	٤٣,٢٨	٨,٥٥	٣٦,٦	٦,٨٤
					٢٨,٨٥	٥,١٣
					٢١,٦٤	٣,٤٢
					١٦,٦٣	٢,٢

المصدر : من عمل الباحث بالاعتماد على المعادلة رقم (١٣)

١٣- سمك (عمق) الجريان السطحي المناسب لنزروة تدفق السيول ، ويتم حسابها وفق

المعادلة الآتية رقم (١٤) :-

$$E^{(mm)} = Q_p^{(m^3/s)} / (T_m(sec.) \times 10^{-3}) (S^{-1} (Km^2)) \quad (Raghunath 2006)$$

حيث أن  $E^{(mm)}$  سمك أو عمق الجريان السطحي المناسب لنزروة تدفق السيول،

وتمثل  $Q_p$  كمية التدفق الأقصى للسيول، في حين تمثل  $T_m$  (sec.) فترة الارتفاع التدريجي لتدفق السيل وتمثل  $(S)$  مساحة الحوض، وقد تراوح عمق الجريان السطحي في حوض أبو حاد بين ١٢.٦ - ٢١٥.٨ مم وبين ١٦.٤ - ٣٥٠.٨ مم في حوض جنوب أبو حاد، جدول (٢٠). وقد تراوحت هذه القيمة بين (١٦.٥ - ٣٥٥ مم) في وادي عرنة وبين (١٧.١ - ٣٧٧.٣ مم) في وادي نعمان.

#### جدول (٢٠) عمق الجريان السطحي المناسب لذروة تدفق السيل في أحواض المنطقة.

٦.٥		٦		٥		٤		٣		٢		cp
جنوب أبو حاد	أبو حاد	Ct										
٣٥٠.٧٨	٢١٥.٧٧	٣٣٣.٨٠	١٩٩.١٨	٢٦٩.٨٣	١٦٥.٩٨	٢١٥.٨٦	١٣٢.٧٨	١٦١.٩٠	٩٩.٥٩	١٠٧.٩٣	٦٦.٣٩	٠.٧
١٨٧.٩	١١٩.٥٩	١٧٢.٧٠	١١٠.٣٩	١٤٣.٩٢	٩١.٩٩	١١٥.١٣	٧٣.٥٩	٨٦.٣٥	٥٥.١٩	٥٧.٥٧	٣٦.٨٠	٠.٤
١٣٥.٥٣	٨٧.٥٢	١٢٢.٣٣	٨٠.٧٩	١٠١.٩٤	٦٧.٣٣	٨١.٥٥	٥٣.٨٦	٦١.١٧	٤٤.٦٠	٤٠.٧٨	٣٦.٩٣	٠.٦
١٠٥.٤٤	٧١.٤٩	٤٧.١٥	٦٥.٩٩	٨٠.٩٦	٥٥.٠٠	٦٤.٧٧	٤٤.٠٠	٤٨.٥٧	٣٣.٠٠	٣٢.٣٨	٢٢.٠٠	٠.٨
٨٨٨	٦١.٨٧	٨٢.٤	٥٧.١٢	٦٨.٣٧	٤٧.٦٠	٥٤.٦٩	٣٨.٠٨	٤١.٠٢	٢٨.٥٦	٢٧.٣٥	١٩.٤	١
٧٧.٩٦	٥٥.٤٦	٧١.٩٧	٥١.٢٠	٥٩.٩٧	٤٢.٦٦	٤٧.٩٨	٣٦.١٣	٣٥.٥٨	٢٥.٦٠	٢٣.٩٩	١٧.٧	١.٢
٧٠.١٧	٥٠.٨٨	٦٤.٧٧	٤٦.٩٧	٥٣.٩٨	٣٩.١٤	٤٣.١٨	٣١.٣١	٣٢.٣٩	٢٣.٤٨	٢١.٥٩	١٥.٦٦	١.٤
٦٤.٣٢	٤٧.٤٥	٥٩.٣٧	٤٣.٨٠	٤٩.٤٨	٣٩.٥٠	٣٩.٥٨	٢٩.٢٠	٢٩.٦٩	٢١.٩٠	١٩.٧٩	١٤.٦٠	١.٦
٥٩.٧٨	٤٤.٧٧	٥٥.١٨	٤١.٣٣	٤٠.٩٨	٣٦.٤٤	٣٦.٧٨	٢٧.٥٥	٢٧.٥٩	٢٠.٧٧	١٨.٣٩	١٣.٧٨	١.٨
٥٦.١٤	٤٢.٦٤	٥١.٨٢	٣٩.٣٦	٤٣.١٨	٣٢.٨٠	٣٤.٥٥	٢٦.٢٤	٢٥.٩١	١٩.٦٨	١٧.٧٧	١٣.١٢	٢
٥٣.١٦	٤٠.٨٩	٤٩.٠٧	٣٧.٧٤	٤٠.٨٩	٣١.٤٥	٣٢.٧١	٢٥.١٦	٢٤.٥٤	١٨.٨٧	١٦.٣٦	١٢.٥٨	٢.٢

المصدر : من عمل الباحث بالاعتماد على المعادلة رقم (١٤)

٤. قوة السيل (A)، ويتم حسابها وفق المعادلة الآتية رقم (١٥) :-

$$A = \frac{Q_p^{(m^3/s)}}{\sqrt{S (km^2)}} \quad (Prade, 1961)$$

حيث أن  $A$  معامل قوة السيل، وتمثل  $Q_p$  كمية التدفق الأقصى للسيول، في حين تمثل  $S$  (km<sup>2</sup>) مساحة الحوض، وقد تراوح معامل قوة السيل في حوض أبو حاد بين ٢.١ - ٧٥.٤، في حين تراوح هذا المعامل بين ١.٥ - ٥٤.٨ في حوض جنوب أبو حاد، جدول (٢١). وتعد منطقة المجرى الأدنى والوسط من أحواض المنطقة هي الأكثر عرضة لخطر الجريان السيلى وذلك، حيث تمثل المناطق الأقل انحداراً



والتي تتجمع فيها مياه شبكة التصريف، وفي نفس الوقت هي أكثر الأماكن المناسبة لإقامة المنشآت المختلفة فيها وبالتالي الأكثر عرضة لخطر الجريان السيلي. ويوضح الجدول رقم (٢٢) القيم الكمية والزمنية لتدفق السيول في منطقة الدراسة، وهي نتائج رياضية بحثية يمكن الاعتماد عليها في تحديد الحدود الدنيا والقصوى والوسطي لخصائص السيول في المنطقة، غير أن أهمية هذا النموذج وتطبيقه مرهونة بقياس قيم معامل زمن تدفق الذروة (ct) ومعامل تدفق Peak flow time factor (ct) أو نقلها من حوض آخر مقاس وله نفس الخصائص، حيث يترتب على ذلك تحديد دقيق لقيم معاملات السيول المدروسة وفق هذا النموذج بحيث يتم الاعتماد عليها في الدراسات التي تهدف إلى الحد من أخطار السيول ومقاومة أضرارها.

**جدول (٢١) معامل قوة السيول في أحواض منطقة الدراسة.**

٦,٥		٦		٥		٤		٣		٢		
جنوب أبو حاد	أبو حاد	ct										
٥٤,٧٩	٧٥,٤٠	٥٠,٥٨	٦٩,٦٠	٤٧,١٥	٥٨,٠٠	٣٣,٧٧	٤٧,٤٠	٢٥,٢٩	٣٤,٨٠	١٦,٨٦	٢٣,٢٠	٠,٢
٢٧,٤٠	٣٧,٧٠	٢٥,٢٩	٣٤,٨٠	٢١,٠٧	٢٩,٠٠	١٦,٨٦	٢٣,٧٠	١٢,٦٤	١٧,٤٠	٨,٤٣	١١,٦٠	٠,٤
١٨,٦٦	٢٥,١٣	١٦,٨٦	٢٣,٢٠	١٤,٥٠	١٩,٣٣	١١,٢٤	١٥,٤٧	٨,٤٣	١١,٦٠	٥,٦٢	٧,٧٣	٠,٦
١٣,٧٠	١٨,٨٠	١٢,٦٤	١٧,٤٠	١٠,٥٤	١٤,٥٠	٨,٤٣	١١,٦٠	٦,٣٢	٨,٧٠	٤,٢١	٥,٨٠	٠,٨
١٠,٩٦	١٥,٠٨	١٠,١٢	١٣,٩٢	٨,٤٣	١١,٦٠	٦,٧٤	٩,٧٨	٥,٦٢	٦,٩٦	٣,٣٧	٤,٦٤	١
٩,١٣	١٢,٥٧	٨,٤٣	١١,٦٠	٧,٠٢	٩,٦٧	٥,٦٢	٧,٧٣	٤,٧١	٥,٨٠	٢,٨١	٣,٨٧	١,٢
٧,٨٣	١٠,٧٧	٧,٦٣	٩,٩٤	٧,٠٢	٨,٧٩	٤,٨٢	٦,٦٣	٣,٦١	٤,٩٧	٢,٤١	٣,٧١	١,٤
٦,٨٥	٩,٤٢	٦,٣٢	٨,٧٠	٥,٢٧	٧,٢٥	٤,٢١	٥,٨٠	٣,١٦	٤,٣٥	٢,١١	٢,٩٠	١,٦
٦,٠٩	٨,٣٨	٥,٦٢	٧,٧٣	٤,٦٨	٦,٤٤	٣,٧٥	٥,١٦	٢,٨١	٣,٨٧	١,٨٧	٢,٥٨	١,٨
٥,٤٨	٧,٥٤	٥,٠٦	٦,٩٦	٤,٢١	٥,٨٠	٣,٦٧	٤,٦٤	٢,٥٣	٣,٤٨	١,٦٩	٢,٣٢	٢
٤,٩٨	٦,٨٥	٤,٦٠	٦,٦٣	٣,٨٣	٥,٧٧	٣,٠٧	٤,٢٢	٢,٣٠	٣,١٦	١,٥٣	٢,١١	٢,٢

المصدر : من عمل الباحث بالاعتماد على المعادلة رقم (١٥)

### جدول (٢٢) القيم الكمية والزمنية لتدفق السيول في أحواض منطقة رأس غارب.

(Qp. Min) أعلى قيمة	(Qp. Mean) المتوسط		(Qp. Max) الأقصى قيمة			
جنوب أبو حاد	أبو حاد	جنوب أبو حاد	أبو حاد	جنوب أبو حاد	أبو حاد	المتغيرات
٢٠٤.٠٩	١١٤٦.٦٣	٢٠٤.٠٩	١١٤٦.٦٣	٢٠٤.٠٩	١١٤٦.٦٣	A(km)
٤٩.١١٧	١١٨.٩٦٨	٤٩.١١٧	١١٨.٩٦٨	٤٩.١١٧	١١٨.٩٦٨	L <sub>b</sub>
٢٦.٩٢٨	٦٣.٨٨٥	٢٦.٩٢٨	٦٣.٨٨٥	٢٦.٩٢٨	٦٣.٨٨٥	L <sub>ca</sub>
٢.٢	٢.٢	١.٢	١.٢	٠.٢	٠.٢	ct
٢	٢	٤.٧٥	٤.٧٥	٦.٥	٦.٥	cp
١.٧	٢.٩	١٠.٣	١٧.٥	١٨.٩	٣٢.١	T <sub>p</sub> (hr)
٠.٣	٠.٥	١.٩	٣.٢	٣.٤	٥.٨	T <sub>r</sub> (hr)
٢٢.٤	٧١.٤	١٤٧.٨	٤٧٦.٣	٧٩٢.٣	٧٥٥٣.١	Q <sub>p</sub> (m <sup>3</sup> /s)
٣.٢	٣.٤	٤.٣	٥.٢	٥.٤	٧	T <sub>b</sub> (days)
٦.٩	١١.٧	٤١.٢	٧٠.١	٧٥.٥	١٢٨.٥	T <sub>b</sub> (hours)
٤٥.٧	٢٩.٩	٣٤.٣	٤١.٥	٤٢.٩	٥٩.١	T <sub>m</sub> (hr) (days)
٢.٣	٢.٩	١٣.٧	٢٣.٤	٢٥.٢	٤٢.٨	(T <sub>m</sub> (hr)) hours
٥١.٤	٥٣.٨	٦٨.٦	٨٣	٨٥.٧	١١٢.٢	(T <sub>d</sub> (hr)) days
٤.٦	٧.٨	٢٧.٦	٤٦.٧	٥٠.٣	٨٥.٦	(T <sub>d</sub> (hr)) hours
٠.٣	٠.١٧	٠.٩	٠.٥	٣.٢	١.٩	I (cm/hr)
٠.١١	٠.٠٦	٠.٧	٠.٤	٣.٨	٢.٢	Q <sub>p</sub> (m <sup>3</sup> /s/km <sup>2</sup> )
١.٣	٢.٤	١٧.١	٣٠.٣	٦٣.٢	١١٢.٣	W <sub>50</sub> (hr)
٠.٧٦	١.٤	٩.٨	١٧.٤	٣٩.٢	٦٤.٤	W <sub>75</sub> (hr)
٣.٤	١٤.٤	١٦.١	٥٩.٤	٧٣.٣	٢٤٧.٤	AL (Hm <sup>3</sup> ) (10 <sup>6</sup> m <sup>3</sup> )
١٦.٤	١٢.٦	٧٧	٥١.٨	٣٥٠.٨	٢٥١.٨	E (mm)
١.٥	٢.١	١٠.٢	١٤.١	٥٤.٨	٧٥.٤	A

المصدر : من عمل الباحث بالاعتماد على المعادلات من (١) إلى (١٥).

### ثالثاً : رسم هيdroوجراف السيل لأحواض منطقة رأس غارب.

يفيد تطبيق نموذج سنایدر في رسم هيdroوجراف السيل لأحواض المنطقة، ويتم

ذلك من خلال تطبيق معادلتين يتم من خلالهما توضيح الشكل العام لقيم تدفق المياه

في فترة زمنية معينة. وفيما يلي عرض لهذه المعادلات :

١. التدفق الأقصى المناسب لنفترة الارتفاع التدريجي للسيول  $Q_{Tm}$  (m<sup>3</sup>/s) ويتم حسابه من خلال المعادلة الآتية رقم (١٦) :

$$Q_{Tm} \text{ (m}^3\text{/s)} = Q_p \max \text{ (m}^3\text{/s)} \left[ \frac{T}{(T_m \text{ (hr) hours})} \right]^2 \quad (\text{PNUD-OPE, 1987})$$

- ٥٩ -

حيث أن  $Q_{Tm}^{(m^3/s)}$  التدفق الأقصى المناسب لفترة الارتفاع التدريجي للسائل و  $Q_p^{(m^3/s)}$  كمية التدفق الأقصى للسائل وتشير  $\max$  إلى القيم الدنيا والقصوى والوسطى من هذه الكمية وتم حسابها من خلال المعادلة رقم (٣) وتشير  $(T_m^{(hr)} \text{ hours})$  إلى فترة الارتفاع التدريجي لتدفق السائل الأساس للسائل (ساعة) والتي تم حسابها من خلال المعادلة رقم (٦)، وتشير  $T$  إلى الفاصل الزمني المحدد لتقدير الارتفاع التدريجي للتذبذب (ساعة) والذي يتم الحصول عليه من خلال ناتج المعادلة رقم (٦)، حيث بلغت القيمة الدنيا والوسطى والقصوى لوادي أبو حاد (٤٢ - ٥٧ ساعة) على الترتيب و (٣٤ - ٤٣ - ٣٤ ساعة) لوادي جنوب أبو حاد علي الترتيب.

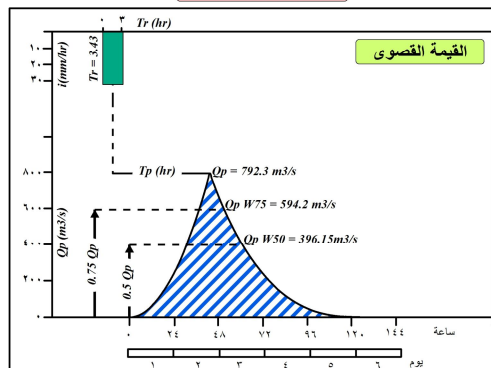
## ٢. التدفق الأقصى المناسب لفترة الانخفاض التدريجي للسائل $QTd$ ( $m^3/s$ ) ويتم

حسابه من خلال المعادلة الآتية رقم (١٧) :

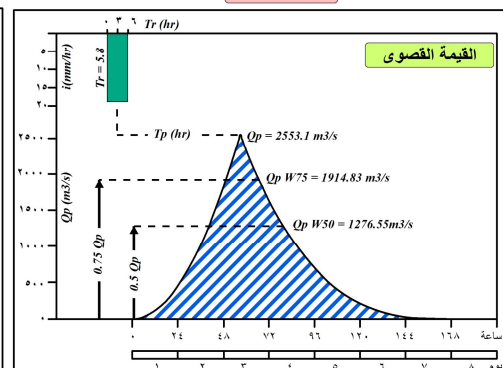
$$QTd^{(m^3/s)} = Q_p \max^{(m^3/s)} \left[ \frac{(T_d^{(hr)} \text{ hours}) - T}{(T_d^{(hr)} \text{ hours})} \right]^3 \quad (\text{PNUD-OPE, 1987})$$

حيث أن  $Q_{Td}^{(m^3/s)}$  التدفق الأقصى المناسب لفترة الانخفاض التدريجي للسائل و  $Q_p^{(m^3/s)}$  كمية التدفق الأقصى للسائل وتشير  $\max$  إلى القيم الدنيا والقصوى والوسطى من هذه الكمية وتم حسابها من خلال المعادلة رقم (٣) وتشير  $(Td^{(hr)} \text{ hours})$  إلى فترة الانخفاض التدريجي لتدفق السائل الأساس للسائل (ساعة) والتي تم حسابها من خلال المعادلة رقم (٨ - أ)، إلى الفاصل الزمني المحدد لتقدير الارتفاع التدريجي للتذبذب (ساعة) والذي يتم الحصول عليه من خلال ناتج المعادلة رقم (٨ - أ)، حيث بلغت القيمة الدنيا والوسطى والقصوى لوادي أبو حاد (٥٤ - ٨٣ - ١١٢ ساعة) على الترتيب و (٥٢ - ٦٩ - ٨٦ ساعة) لوادي جنوب أبو حاد علي الترتيب . ومن خلال دراسة الشكل رقم (٨) الذي يوضح هيdroوجراف السائل لأحواض المنطقة يلاحظ أن هناك تفاوت في شكل وقيم كل هيdroوجراف وأن مدة السائل بين الارتفاع والانخفاض تتراوح بين ٨١ - ١٦٩ ساعة في حوض أبو حاد وبين ٧٨ - ١٢٩ ساعة في حوض جنوب أبو حاد.

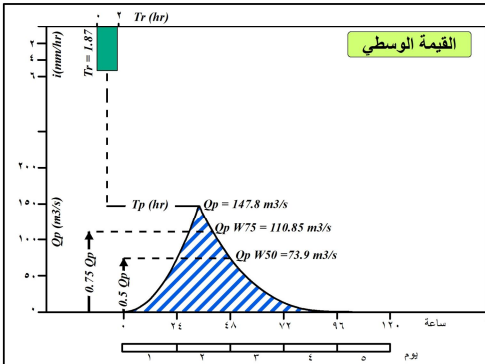
حوض جنوب أبو حاد



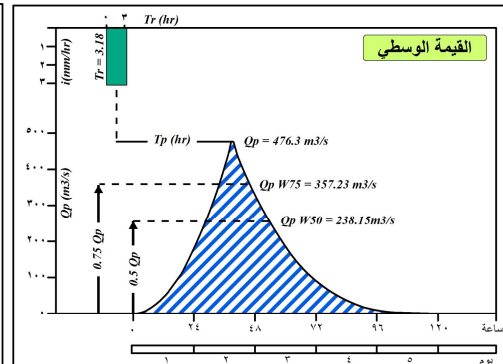
حوض أبو حاد



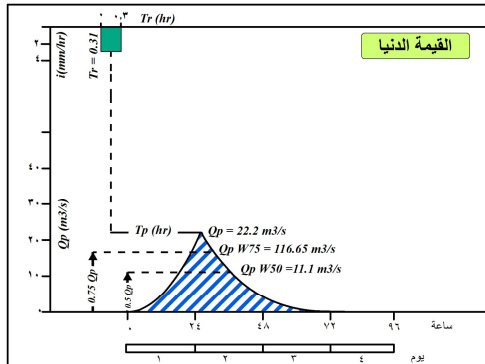
القيمة الوسطى



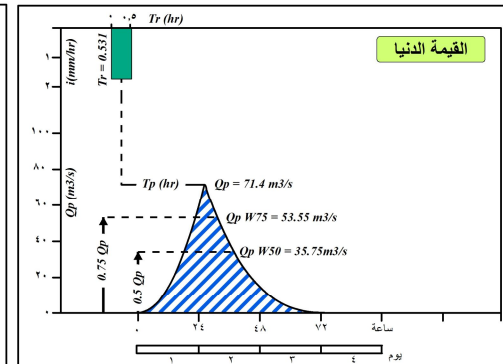
القيمة الوسطى



القيمة الدنيا



القيمة الدنيا



المصدر : من عمل الباحث اعتماداً على المعادلة (١٦) (١٧).

شكل (٨) هيدروجراف السيل لأحواض منطقة الدراسة

## رابعاً : احتمالية الرجوع للعواصف المطرية وعمق المطر المستقبلي .

### ١. احتمالية الرجوع للعواصف المطرية

لتقدير احتمالية حدوث السيول في منطقة الدراسة و زمن عودتها تم الاعتماد على بيانات محطات الأرصاد في منطقة الدراسة وذلك للحصول على أعلى كمية مطر سقطت في يوم واحد في هذه المحطات، حيث بلغ عدد تلك القراءات (٢٠) قراءة يبلغ أقصى قيمة لها حوالي ٤٩.٦ مم وذلك في محطة السويس عام ١٩٦٥ م و ٤٥ مم في محطة الغردقة ١٩٩٦ م و ٤٠ مم في نفس المحطة عام ١٩٨٧ م و ٣٥ مم في محطة السويس ٢٠١٦ م . وقد تم ترتيب هذه القيم ترتيباً تنازلياً بحيث تأخذ أعلى قيمة من قيم المطر المرتبة الأولى تليها باقي القيم وهكذا (الترتيب) كما هو موضح في الجدول رقم (٢٣). كذلك تم حساب كمية التساقط المطري فوق جبال البحر الأحمر بزيادة قدرها ٢٥٪ عن التساقط في نفس الفترة وذلك وفق دراسة (Gheith&sultan, 2002, 44) . وقد تم حساب احتمالية حدوث الجريان السيلى في المنطقة ((P)) من خلال الاعتماد على معادلة (Critchley& Siegert, 1991) وهي كما يلى :

$$P(%) = \frac{(m-0.375)}{(N+0.25)} \times 100$$

حيث أن (P) احتمالية رجوع العواصف المطرية (%) ، وتمثل  $m$  ترتيب كمية المطر المراد حساب احتمالية عودتها، في حين تمثل  $N$  عدد القراءات التي تم الاعتماد عليها في الدراسة وعددتها (٢٠) قراءة، شكل رقم (٩).

ومن خلال تطبيق هذه المعادلة على بيانات أقصى كمية مطر متاحة لدينا يتضح أن احتمالية حدوث سيل ٢٨ أكتوبر ٢٠١٦ م وهو أحد سيل حدث في المنطقة وأقرب السيول التي حدثت لمنطقة الدراسة حيث تأثرت به منطقة رأس غارب وما جاورها، حيث إن احتمالية حدوث هذا السيل تصل إلى ١٧.٩٪، حيث أن العلاقة عكسية بين كمية



المياه واحتمالية حدوث السيول فالسيول الكبيرة تقل احتمالية حدوثها عكس السيول الصغيرة الحجم. كذلك تم حساب زمن عودة السيول  $T_p^{(yr)}$  والتي تم حسابها من خلال المعادلة

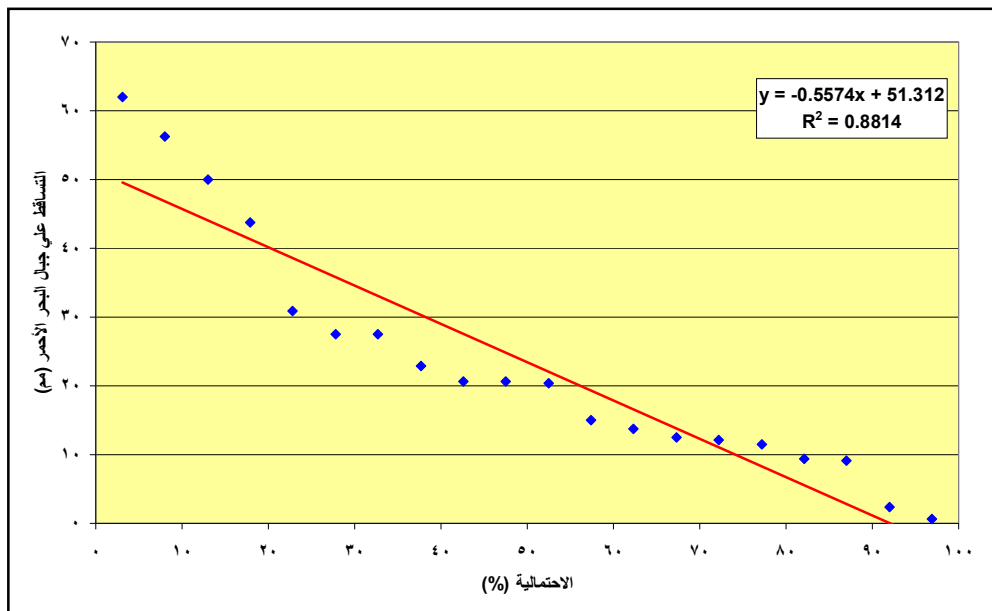
$$T_p^{(yr)} = 100/P$$

ومن خلال المعادلة السابقة تم حساب زمن عودة السيول والتي تتناسب عكسياً مع احتمالية حدوث السيول، حيث أنه كلما زادت احتمالية حدوث السيول قلت الفترة الزمنية للعودة والعكس صحيح . وبناء على ما سبق فإن احتمالية عودة سيل ٢٨ أكتوبر ٢٠١٦ م حوالي ٥.٦ سنة وبالتالي يتوقع حدوث سيل يماثل في القوة سيل عام ٢٠٢١ بحلول عام ٢٠٢١.

**جدول (٢٣) تقدير احتمالية الرجوع للعواصف المطرية في المنطقة.**

العام	الفاصل الزمني	أكبر كمية مطر سقطت في يوم واحد (مم)	التتساقط على جبال البحر الأحمر	الترتيب	الاحتمالية (%)	زمن العودة (عام)
١٩٤٧	-	١٦.٥	٢٠.٦٣	٩	٤٢.٦	٢.٣
١٩٥٠	٣	٧.٥	٩.٣٨	١٧	٨٢.١	١.٢
١٩٥٤	٤	١٨.٣	٢٢.٨٨	٨	٣٧.٧	٢.٧
١٩٥٤	٠.٨	٢٤.٧	٣٠.٨٨	٥	٢٢.٨	٤.٤
١٩٦٤	١٠	١٠	١٢.٥	١٤	٦٧.٣	١.٥
١٩٦٥	١	٤٩.٦	٦٢	١	٣١	٣٢.٣
١٩٦٧	٢	٢٢	٢٧.٥	٦	٢٧.٨	٣.٦
١٩٧٥	٨	١١	١٣.٧٥	١٣	٦٢.٣	١.٦
١٩٧٦	١	٩.٢	١١.٥	١٦	٧٧.٢	١.٣
١٩٨٢	٦	٧.٣	٩.١٣	١٨	٨٧	١.١
١٩٨٤	٢	٩.٧	١٢.١٣	١٥	٧٢.٢	١.٤
١٩٨٥	١	١٦.٣	٢٠.٣٨	١١	٥٢.٥	١.٩
١٩٨٧	٢	٤٠	٥٠	٣	١٣	٧.٧
١٩٨٨	١	١٦.٥	٢٠.٦٣	١٠	٤٧.٥	٢.١
١٩٩٠	٣	٢٢	٢٧.٥	٧	٣٢.٧	٣.١
١٩٩١	١	١.٩	٢.٣٨	١٩	٩٢	١.١
١٩٩٤	٣	٠.٥	٠.٦٣	٢٠	٩٦.٩	١
١٩٩٤	٠.٢	١٢	١٥	١٢	٥٧.٤	١.٧
١٩٩٦	٢	٤٥	٥٦.٢٥	٢	٨	١٢.٥
٢٠١٦	١٠	٣٥	٤٣.٧٥	٤	١٧.٩	٥.٦

المصدر : من عمل الباحث بالاعتماد على معدلات (Critchley&Siegert, 1991)



المصدر : من عمل الباحث اعتماداً على الجدول رقم (٢٥).

شكل (٩) احتمالية الرجوع للعواصف المطرية المسيبة للسيول في منطقة الدراسة

## ٢. تقدير العمق التصميمي للعواصف المطرية المستقبلية

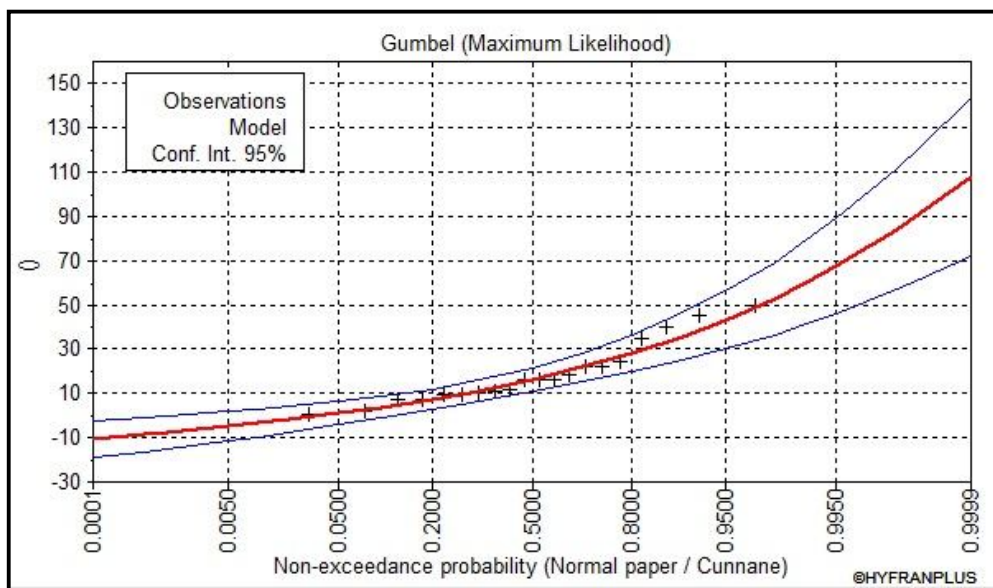
تفيد بعض البرمجيات الحديثة في الحصول على التقديرات المستقبلية لكمية الأمطار في منطقة ما على فترات زمنية مستقبلية متفاوتة، وذلك من خلال الاعتماد على بيانات السجلات المطرية التي حدثت في فترات زمنية سابقة، وكلما زادت القراءات التي حدثت في الماضي زادت دقة التوقعات المستقبلية والتي تم وفق مجموعة من النماذج الرياضية. وقد اعتمدت الدراسة على برنامج *HyfranPlus 10.1* في تقدير العمق التصميمي المتوقع للعواصف المطرية المستقبلية في المنطقة بناء على البيانات التراكمية المتاحة لأكبر كمية مطر سقطت حيث تم الاعتماد على نموذج Gumbel (Maximum Likelihood) في ذلك الأمر. ويوضح الجدول رقم (٢٤) والشكل رقم (١٠). تقدير العمق التصميمي المتوقع للعواصف المطرية المستقبلية في المنطقة، حيث يتوقع أن يبلغ عمق المطر خلال فترة عامين ٦٦.٣مم، ثم ترتفع هذه

القيمة لتصل إلى ٣٥.٨ مم بعد ١٠ سنوات أي أن كمية مطر مماثلة لسيول ٢٨ أكتوبر ٢٠١٦ م يتوقع حدوثها بعد تلك الفترة، في حين توقعت دراسة احتمالية عودة تلك السيول أن تعود بعد ٥٥.٦ عام. كذلك يتوقع هذا النموذج أن يصل عمق الأمطار إلى ٥٣ مم بعد ٥٠ عام و ٦٠.٢ مم بعد ١٠٠ عام. ولعل هذه التقديرات مع تقديرات احتمالية عودة السيول تستدعي مراعاة خصائص العواصف المطرية في المنطقة والعمل على حماية المنطقة من أخطارها عن طريق مجموعة من الإجراءات التي توصي بها الدراسة في النتائج.

**جدول (٢٤) تقييم العميق التصميمي للعواصف المطرية المستقبلية في المنطقة.**

العمق التصميمي (مم)	الفترة الزمنية (عام)
١٦.٣	٢
٢٨.٠	٥
٣٥.٨	١٠
٤٥.٧	٢٥
٥٣.٠	٥٠
٥٧.٢	٧٥
٩٠.٢	١٠٠

المصدر : من عمل الباحث بالاعتماد على برنامج HyfranPlus 10.1



المصدر : من عمل الباحث بالاعتماد على برنامج HyfranPlus 10.1

**شكل (١٠) تقييم عميق(سمك) المطر المتوقع سقوطه على منطقة الدراسة.**

## خامساً : الآثار البيئية لسيول أكتوبر ٢٠١٦ م بمدينة رأس غارب.

تعرضت مدينة رأس غارب إلى سيول مدمرة يومي ٢٨ - ٢٩ أكتوبر ٢٠١٦، حيث قدرت وزارة الموارد المائية والري حجم الجريان السيلى بحوالي ١٢٠ مليون م<sup>3</sup>، في حين قدر نموذج سنایدر حجم الجريان السيلى لحوضي أبو حاد وجنوب أبو حاد في المتوسط بحوالي ٧٥.٥ مليون م<sup>3</sup>. وقد ترتب على الجريان السيلى العديد من الآثار البيئية التي يمكن إيجازها فيما يلى :

١. **الخسائر البشرية** : أدى الجريان السيلى المصحوب بكميات كبيرة من المياه إلى خسائر بشرية بلغت نحو ١٤ حالة وفاة و ٣٤ مصاب إلى جانب الآثار النفسية السلبية التي تعرض لها سكان المدينة خاصة في المناطق التي مررت بها المياه، حيث اعترى بعض السكان أسطح المنازل هرباً من تدفق المياه بسرعة عالية.
٢. **الخسائر المادية** : تعرضت المدينة نتيجة الجريان السيلى لخسائر كبيرة في الممتلكات تمثلت في تصدع بعض المباني وواجهات المحال التجارية والورش الحرفية، فضلا عن تدمير السيارات الخاصة والعامة إلى جانب فقدان قطع من الأثاث المنزلي والمصوغات الذهبية والممتلكات الثمينة. وقد تم تحرير نحو ٨٠٠ محضر بفقدان ممتلكات شخصية من بينها ٣٢٠ محضر خاص بتدمير سيارة ملاكي. صورة (١).
٣. **غزو المياه والرواسب** : تبين من الدراسة الميدانية ومطالعة المصادر المختلفة (\*\*\*\*\*) أن حوالي ٣٤.٣٪ من مساحة المدينة قد تعرض لخطر السيول تمثل ذلك في الجزء الغربي والجنوبي من المدينة وأجزاء من القطاع الأوسط، كما يوضحه الشكل رقم (١١)، حيث تدفقت المياه إلى داخل المنازل محملة بالرواسب المنقوله مع المياه مما أضر بالمباني والأثاث والممتلكات، وهو ما دفعت جهات الإغاثة المختلفة إلى العمل على سحب المياه من داخل المنازل وكذلك رفع الرواسب منها. صورة (٣)، صورة (٤).

**٤. انتشار الزواحف والعقارب :** أدى الجريان السيلي الشديد إلى دفع العديد من الثعابين والعقارب إلى داخل المنازل، مما سبب ذعرًا للسكان حيث تعرض البعض للدغاتها السامة وهو ما دفعهم إلى طلب توفير كميات من أمصال العقارب والثعابين لسكان المدينة. صورة (٥).

**٥. تدمير الطرق :** تعرضت بعض الطرق إلى عمليات تدمير كبيرة لعل أهمها طريق الغردقة السويس أمام المدينة حيث قطعت المياه الطريق من أكثر من منطقة وجرفت بعض السيارات التي تصادف مرورها أثناء الجريان السيلي. كذلك تعرض طريق رأس غارب الشيخ فضل إلى التدمير وذلك علي بعد ٧كم من مدخل مدينة رأس غارب بفعل مياه السيول. صورة (٢). وقد أكدت إحدى الدراسات الفنية <sup>(٢)</sup> أن رفع مستوى طريق الشيخ فضل رأس غارب لنحو ١٢م عن مستوى الوادي في أكثر من تعليه بدون مراعاة تصميم وتنفيذ آية أعمال صناعية تراعي أن الطريق في منتصف مجراه السيل قد تسبب في تحويل المسار الطبيعي لوادي أبو حاد إلى الجزء الجنوبي من المدينة، بدلاً من مسارها الطبيعي والمترacer منذ سنوات عدة ليصيب شمال المدينة دون أن يلحق آية أضرار تذكر بالمدينة. ولكن بسبب ما سبق إلى جانب كمية المياه الكبيرة التي حملتها الأمطار، أدى ذلك إلى تحول مسار مياه السيل في اتجاه مدينة رأس غارب .



المصدر : من عمل الباحث بالاعتماد على الدراسة الميدانية والخرائط الطبوغرافية ١ : ٥٠٠٠ ، الصور من موقع <https://www.albawabnews.com/2185602>

شكل (١١) أخطار الجريان السيلى على مدينة رأس غارب.



صورة (٢) قطع السيول للطرق الرئيسية أمام  
مدينة رأس غارب



صورة (١) تدمير السيارات بسبب السيول  
بمدينة رأس غارب



صورة (٤) وضع حواجز للحد من غمر المياه  
والرواسب بمدينة رأس غارب



صورة (٣) غمر المياه والرواسب المدارس  
والمنشآت بمدينة رأس غارب



صورة (٦) إجلاء المتضررين من السيول في  
مدينة رأس غارب



صورة (٥) انتشار الزواحف التي جلبتها مياه السيول  
بمدينة رأس غارب

## سادساً : النتائج والتوصيات

### تبين من خلال ما سبق الآتي :

١. تغطي الصخور النارية ٤٧,٦٪ من مساحة المنطقة في حين تغطي تكوينات الحجر الرملي والجييري نحو ١٠,١٪ من مساحتها و تستحوذ رواسب الزمن الرابع على ٤٢,٣٪ من مساحتها.
٢. يغلب على المنطقة الطابع الجبلي، حيث يبلغ المدى التضاريسى لها ١٠٦٩م، وتشغل المناطق التي يزيد منسوبها على ٥٠٠م حوالي ٧٣,٨٪ من مساحتها.
٣. يتسم سطح المنطقة بقلة انحداره، حيث تغطي الانحدارات التي تقل عن ٥ درجات حوالي ٨٢,٣٪ من مساحتها.
٤. يعد الاتجاه الشمالي الاتجاه الرئيسي لسطح المنطقة حيث ينحدر ٢٤,٢٪ من سطح المنطقة في هذا الاتجاه في حين يغلب على ١٣,٤٪ منها الاستواء النسبي.
٥. يتسم سطح المنطقة بسيطرة الأقسام المستقيمة بنسبة ٧٦,٧٪، في حين تغطي العناصر المحدبة ١٧,٢٪ والعناصر المقرعة ٦,١٪.
٦. يعد شهر أكتوبر أعلى أشهر العام من حيث كمية المطر في المنطقة، في حين يعد فصل الخريف أكبر الفصول من حيث التساقط. ويقدر حجم المطر الساقط على المنطقة يوم ٢٧ أكتوبر ٢٠١٦م حوالي ٢٢,٣ مليون م٣ وفق نموذج PERSIANN في حين بلغت شدة المطر في نفس اليوم نحو ٥٥,٩ مم/ساعة خلال ذروة التساقط المطري من الساعة الواحدة ظهراً وحتى الساعة السابعة مساءً.
٧. تراوحت كمية التدفق الأقصى للسيول في حوض أبو حاد بين ٧١,٤ - ٢٥٥٣,٠ م٣/ث وبين ٢٢,٢ - ٢٧٩٢,٣ م٣/ث في حوض جنوب أبو حاد، في حين تراوحت قيمة تدفق الذروة النوعي لحوض أبو حاد بين ٠٠٦٢ - ٣٢,٢ م٣/ث/كم٢ وبين ٠٠٦ - ٣٣,٨ م٣/ث/كم٢ في



## حوض جنوب أبو حاد.

٨. تراوح حجم السيل في الحوض المائي في حوض أبو حاد بين ١٤,٤ - ٢٤٧,٤ مليون م<sup>٣</sup>، وبين ٣,٤ - ٧٣,٣ مليون م<sup>٣</sup> في حوض جنوب أبو حاد، في حين تراوحت قوة السيل ٢,١ - ٧٥,٤ في حوض أبو حاد وبين ١,٥ - ٥٤,٨ في حوض جنوب أبو حاد.
٩. تراوحت فترة الهيدروجراف السيلى في حوض أبو حاد بين ٨١ - ١٦٩ ساعة، في حين تراوحت هذه الفترة بين ٧٨ - ١٢٩ ساعة في حوض جنوب أبو حاد.
١٠. بلغت احتمالية عودة سيل ٢٨ - ٢٩ أكتوبر ٢٠١٦ م حوالي ٦,٥ عام أي انه يتوقع عودة هذه السيول بحلول عام ٢٠٢١ م.
١١. يتوقع أن يصل العمق التصميمي المستقبلي للعواصف المطرية إلى ٤٥,٧ مم خلال فترة ٢٥ عام و ٥٣,٠ مم خلال فترة ٥٠ عام و ٤٠,٢ مم خلال فترة ١٠٠ عام.
١٢. تعرضت مدينة رأس غارب إلى سيل عنيفة ترب على فيها غرق نحو ٣٤,٣ % من مساحة المدينة بالياب والرواسب وانتشار الزواحف والعقارب، ووفاة ١٤ شخص وإصابة ٣٤ شخص وتدمير ٣٢٠ سيارة وتدمير طريق السويس الغردقة أمام المدينة وكذلك طريق رأس غارب الشيخ فضل.

### **بناء على ما سبق توصي الدراسة بالاتي :**

١. الإسراع في بناء سدود حماية علي مجاري الأودية المسئولة عن الجريان السيلى، بحيث يراعي فيها حجم السيل الأقصى الذي حدده الدراسة بنحو ٢٤٧,٤ مليون م<sup>٣</sup> لوادي أبو حاد و ٧٣,٣ مليون م<sup>٣</sup> في حوض جنوب أبو حاد.
٢. إنشاء قناتين لتصريف مياه السيول أحدها في الجزء الشمالي من المدينة بحيث تصرف مياه وادي أبو حاد والثانية في الجزء الجنوب وتصريف مياه وادي جنوب أبو

حاد، ويراعي فيها أن تستوعب الحجم الأقصى المتوقع للسيول بواقع ٢٤٧,٤ مليون م<sup>3</sup> في القناة الشمالية و٧٣,٣ مليون م<sup>3</sup> في القناة الجنوبية.

٣. إعادة دراسة وضع البرابح والساحارات المقامة على طريق السويس - العرقة ورأس غارب - الشيخ فضل بحيث يتم إعادة تصميمها بما يتناسب مع الطاقة التصميمية القصوى للسيول والعمل المستمر على تطهيرها.
٤. إعادة ضبط طريق رأس غارب - الشيخ فضل بحيث لا يمثل عائق أمام الجريان السيلي لوادي أبو حاد وإنشاء العديد من السحارات على امتداد الطريق في مجرى الوادي أو إقامة جسر للطريق في منطقة مجرى الوادي.
٥. ضبط وتقنين عمليات البناء في القطاع الغربي والجنوبي والجنوبي الغربي من مدينة رأس غارب بما يتناسب مع مناسب السطح والجريان السيلي.

## الهوامش

- (1) KITE,G,W., PIETRONIRO,A., (1996) : Remote sensing applications in hydrological modeling, Hydrological Sciences Journal, 41:4, P564.
- (2) هاني ربيع نادي محمد (٢٠١٦) : التغيرات البيئية على النطاق الساحلي الغربي لخليج السويس، دراسة في جغرافية البيئة، رسالة دكتوراه غير منشورة، كلية الآداب جامعة بنى سويف، ص ٢٢٦.
- (\*) تم حساب مساحة المدينة من صور القمر الصناعي الأمريكي 2017 (OLI) Landsat بالاعتماد على برنامج Arc GIS 10.3، أعداد السكان من النتائج الأولية لEnumeration السكان عام ٢٠١٧.
- (\*\*) تم تسمية الحوض الجنوبي بحوض أبو حاد، حيث أنه موجود على الخرائط الطبوغرافية مقاييس ١:٥٠٠٠٠ بدون اسم، كما أنه أحد الأحواض المساهمة بشكل واضح في الجريان السيلي بالمنطقة خاصة في الجزء الجنوبي والأوسط من مدينة رأس غارب.
- (3) Sorman. Ali U. (1994): Estimation of Flood Peaks Using Remote Sensing Techniques; Case Study: Wadi Itwad , Southwestern Saudi Arabia, JKAU: Met., Env.,Arid Land Agric. Sci., Vol. 5, pp 161-177.
- (4) Geriesh, M.H., El-Shamy, I.Z. and Abouelmagd, A.A. (2001) : Flash flood mitigation and groundwater augmenting in Wadi Feiran basin, South Sinai, Egypt, Proceeding of the 6th Conf. Geology of Sinai for Development Ismailia, 2001, pp. 303-319.

- (5) Gheith,H. and Sultan,M. (2002) : Construction of hydrologic model for estimating wadi runoff and ground water recharge in the Eastern Desert, Egypt, Journal of Hydrology, 263, PP. 36-55.
- (٦) محمود أحمد محمود حجاب (٢٠٠٥) : جيومورفولوجيا السهل الساحلي والإقليم الجبلي فيما بين رأس بكر ورأس الدب - غرب خليج السويس ، رسالة دكتوراه غير منشورة ، كلية الآداب جامعة القاهرة .
- (٧) سند سند الشريبي (٢٠٠٥) : المنقطة الساحلية فيما بين رأس غارب شمالاً ورأس دب جنوباً دراسة جيومورفولوجية ، رسالة دكتوراه غير منشورة قسم الجغرافيا ، كلية الآداب ، جامعة طنطا .
- (8) Youssef,M,A., Hegab,M,A.. (2005) : Use of geographic information systems and statistics to develop a database management system for flood risks in the Ras Gharib area, Eastern Desert, Egypt, The Fourth International Conference On the Geology of AfricaVolume (2), P-P 1-15 (November 2005) Assiut - Egypt
- (9) Saber,m., HAMAGUCHI, T., KOJIRI, T., (2008) : surface Runoff Modeling of Ephemeral Streams Considering Homogenization Theory in Arid Regions, Wadi Assiut in Egypt, Annals of Disas. Prev. Res. Inst., Kyoto Univ., No. 51 B,
- (١٠) حنان بنت عبد اللطيف بن حسن الغيلان (٢٠٠٨) : دور نظم المعلومات الجغرافية في دراسة الخصائص المورفومترية لوحوض وادي لين ، رسالة ماجستير غير منشورة ، كلية الآداب جامعة الملك سعود .
- (11) Badawy, M.M., Khidr,M.M., (2011) : A GIS and RS Based Approach for modeling ungauged small-scale catchments in Mersa Alam, Bulletin of the Egyptian geographical society, Tome LXXXIV, Vol. 84.
- (١٢) محمد سعيد البارودي (٢٠١٢) : تقدير أحجام السيول ومخاطرها عند المجرى الأدنى لوادي عرنة جنوب شرق مدينة مكة المكرمة، باستخدام نظم المعلومات الجغرافية، سلسلة بحوث جغرافية، الجمعية الجغرافية المصرية، ع ٤٨
- (١٣) محمد سعيد البارودي ، معراج نواب مزرا ، جمعة داود (٢٠١٣) : استخدام نظم المعلومات الجغرافية في تقدير أحجام السيول ومدى خطورتها عند المجرى الأدنى لوادي النعمان جنوب مدينة مكة المكرمة من خلال تطبيق نموذج سنایدر واعتماد نموذج الارتفاعات الرقمي ASTER، المؤتمر الجغرافي الدولي (الجغرافيا والتغيرات العالمية المعاصرة)، كلية الآداب والعلوم الإنسانية، جامعة طيبة.
- (١٤) أحمد إبراهيم محمد صابر وأميرة محمد محمود البنا (٢٠١٣) : أسلوب مقترن لتحديد معايير درجات خطورة السيول في مصر باستخدام نظم المعلومات الجغرافية، مجلة كلية الآداب جامعة الزقازيق، ع ٦٤ .
- (15) Sudhakar, B, S., Anupam, K,S., Akshay, J,o., (2015) : Snyder Unit Hydrograph and GIS for Estimation of Flood for Un-Gauged Catchments in Lower Tapi Basin, India, Hydrol Current Res 6: 195. doi :10.4172/2157-7587.1000195.
- (16) Elnazer,A,A., Salman, A, S., Asmoay, A,S., (2017) : Flash flood hazard affected Ras Gharib city, Red Sea, Egypt: a proposed flash flood channel, Nat Hazards (2017) 89:1389–1400.
- (١٧) محمود أحمد محمود حجاب (٢٠٠٤) : جيومورفولوجيا السهل الساحلي والإقليم الجبلي فيما بين رأس بكر ورأس الدب (غرب خليج السويس)، رسالة دكتوراه غير منشورة ، كلية الآداب بسوهاج جامعة جنوب الوادي، ص ٦.
- (١٨) هاني رببع نادي محمد (٢٠١٦) : التغيرات البيئية على النطاق الساحلي الغربي لخليج السويس، دراسة في جغرافية البيئة، رسالة دكتوراه غير منشورة ، كلية الآداب جامعة بنى سويف، ص ٥.



- (١٩) سند سند موسى الشربيني (٢٠٠٥) : المنطقة الساحلية فيما بين رأس غارب شماليًّاً ورأس دب جنوبًا، دراسة جيومورفولوجية، رسالة دكتوراه غير منشورة، كلية الآداب جامعة طنطا، ص ٣٥.
- (٢٠) محمود أحمد محمود حجاب (٢٠٠٤) : مرجع سبق ذكره، ص ص ٧ - ١٠ .

(\*\*\*) Precipitation Estimation from Remotely Sensed information using Artificial Neural Network

(\*\*\*\*) Precipitation Estimation from Remotely Sensed information using Artificial Neural Network – Cloud Classification System

(21) Badawy, M.M., Abdel Aziz, A.O., Mamtimin, B., (2016) : Flash floods in the Sahara: a case study for the 22 January 2013 flood in Qena, Egypt Geomatics, Natural Hazards and Risk. 1-7 : 215-236.

(22) Flood Control Center ،(2003) : San Diego County Hydrology Manual, p.,322 (San Diego: San Diego County Flood Control Advisory Commission) .

(٢٣) أحمد عامر الدليمي (١٩٩٥) : تطوير طريقة انتقاء الجذور لاستناد الهيدروجراف القياسي، رسالة ماجستير غير منشورة، كلية الهندسة جامعة الموصل، ص ١٣٨ .

(٢٤) حنان بنت عبد اللطيف بن حسن الغيلان (٢٠٠٨) : دور نظم المعلومات الجغرافية في دراسة الخصائص المورفومترية لحوض وادي لين، رسالة ماجستير غير منشورة ، كلية الآداب جامعة الملك سعود، ص ٢٤٢ .

(٢٥) محمد سعيد البارودي (٢٠١٢) : تقدير أحجام السيول ومخاطرها عند المجرى الأنفي لوادي عربة جنوب شرق مدينة مكة المكرمة، باستخدام نظم المعلومات الجغرافية، سلسلة بحوث جغرافية، الجمعية الجغرافية المصرية، ع ٤٨ ، ص ص ٣٠ - ٣١ .

(٢٦) محمد سعيد البارودي وأخرون (٢٠١٣) : استخدام نظم المعلومات الجغرافية في تقدير أحجام السيول ومدى خطورتها عند المجرى الأنفي لوادي النعمان جنوب مدينة مكة المكرمة من خلال تطبيق نموذج سنابير واعتماد نموذج الارتفاعات الرقمي ASTER، المؤتمر الجغرافي الدولي (الجغرافيا والتغيرات العالمية المعاصرة)، كلية الآداب والعلوم الإنسانية، جامعة طيبة، ص ٧٧٣ .

(27) Gheith,H. and Sultan,M. (2002) : Construction of hydrologic model for estimating wadi runoff and ground water recharge in the Eastern Desert, Egypt, Journal of Hydrology, 263, PP. 36-55.

(28) Crichley,W. and Siegret,K. (1991) : Water harvesting. FAO corporation Document Repository, Available at:  
<http://www.fao.org/3/U3160E/u3160e05.htm#3.4%20probability%20analysis>.

(\*\*\*\*\*) تتمثل في المقابلات الشخصية والخرائط الطبوغرافية مقاييس ١ : ٥٠٠٠٠ وصور الأقمار الصناعية والبحث في الشبكة العنکبوتية Network .

(٢٩) مجلة المهندسين، سيلو رأس غارب، رؤية فنية، العدد ٦٥٢، يناير ٢٠١٧ ، ص ٩ .